

SEM5946 | SEM0576

Veículos Autônomos Aéreos

Aula #10: Propulsão com hélices

Prof. Assoc. Marcelo Becker
becker@sc.usp.br

Prof. Dr. André Carmona Hernandes
andre.hernandes@ufscar.br



Fonte: <https://wingtra.com/drone-photogrammetry-vs-lidar/>

Conteúdo




- Introdução

Introdução



- Hélices

Atuação



- “Take-home messages”
- Próxima aula...

Conclusão

Conteúdo



- Introdução

Introdução

Hélices

Conclusão

Introdução

- ICA 100-40: *Definição*: Uma aeronave é **QUALQUER** aparelho que possa se sustentar na atmosfera a partir de reações do ar que não sejam as reações do ar contra a superfície da Terra.



Introdução

- A hélice “empurra o ar para baixo, e como reação o ar empurra a hélice para cima”

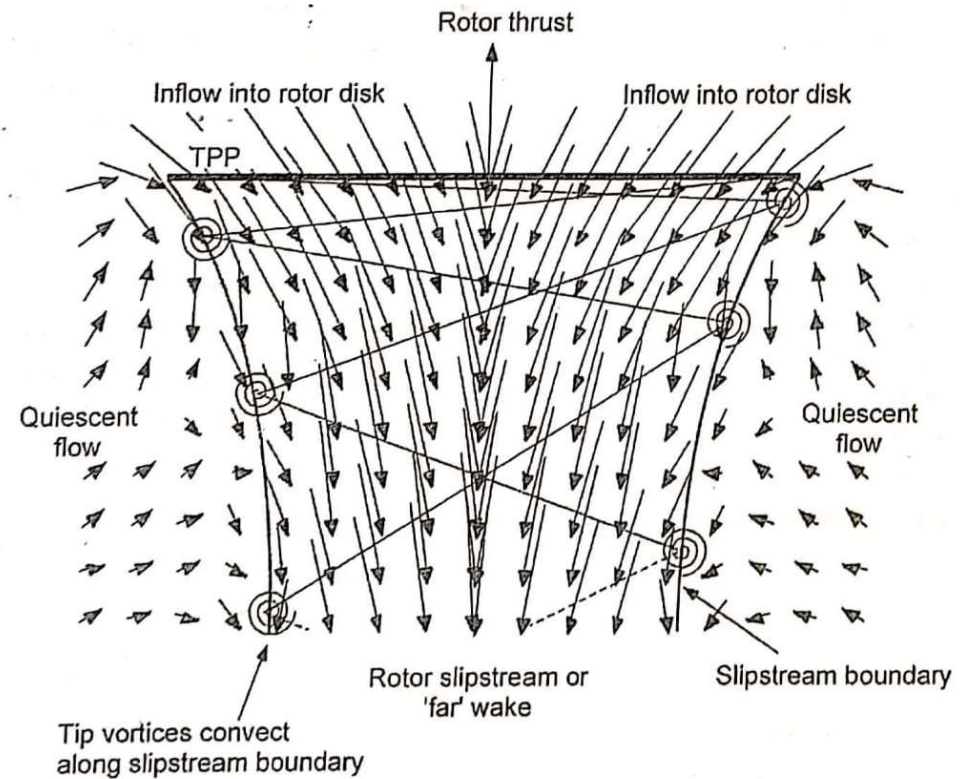
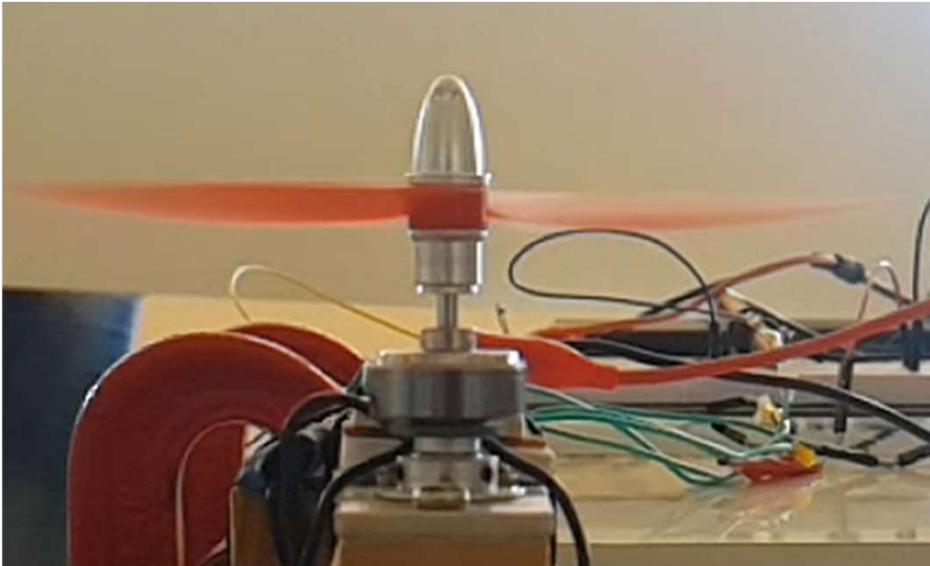


Figure 2.4 Measurements of the velocity field in a diametric plane near and below a two-bladed rotor operating in hover. Data source: Leishman et al. (1995)

Conteúdo

Introdução



- Hélices

Atuação

Conclusão

Hélices

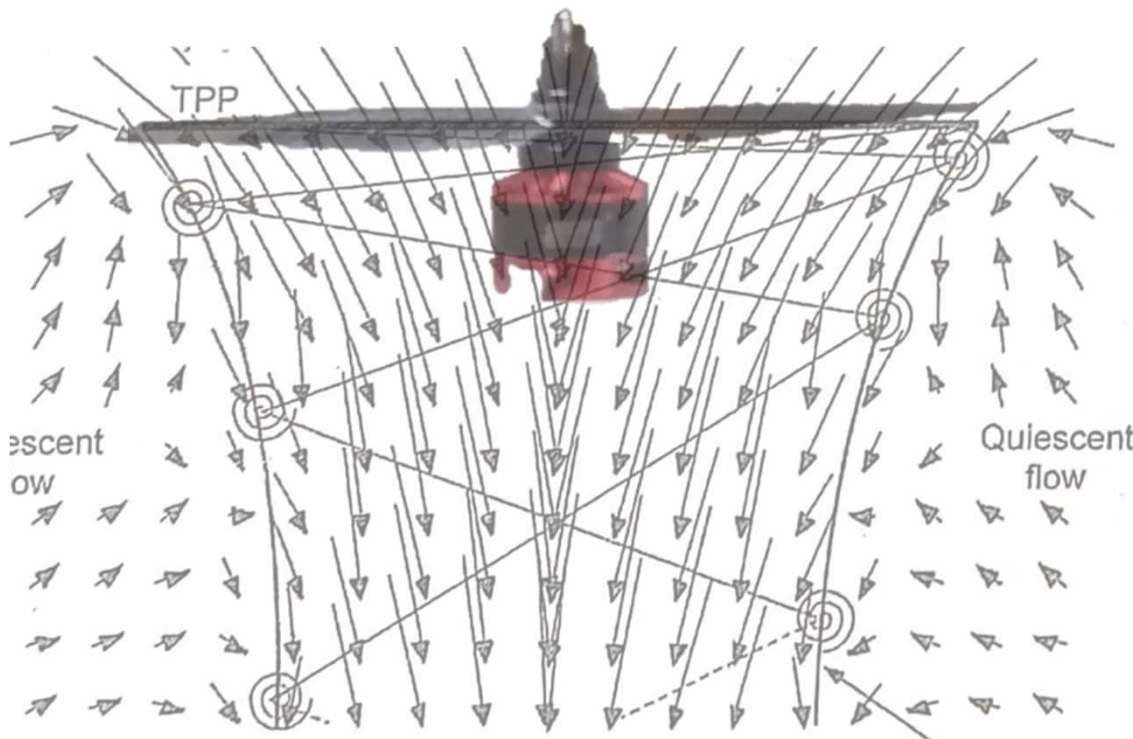
Como analisar?

- Análise pela teoria do momento
 - Conhecida como Teoria do momento de Rankine-Froude.
 - Prediz o comportamento de primeira ordem do empuxo e da potência.
 - Base para estudos mais avançados.
- Análise pela teoria simples de elemento de pá
 - Drzewiecki ou Lanchester
- Elemento de pá com momento
 - Unido com Reissner, Bothezat e Glauert



Hélices

Teoria do momento de Rankine-Froude :



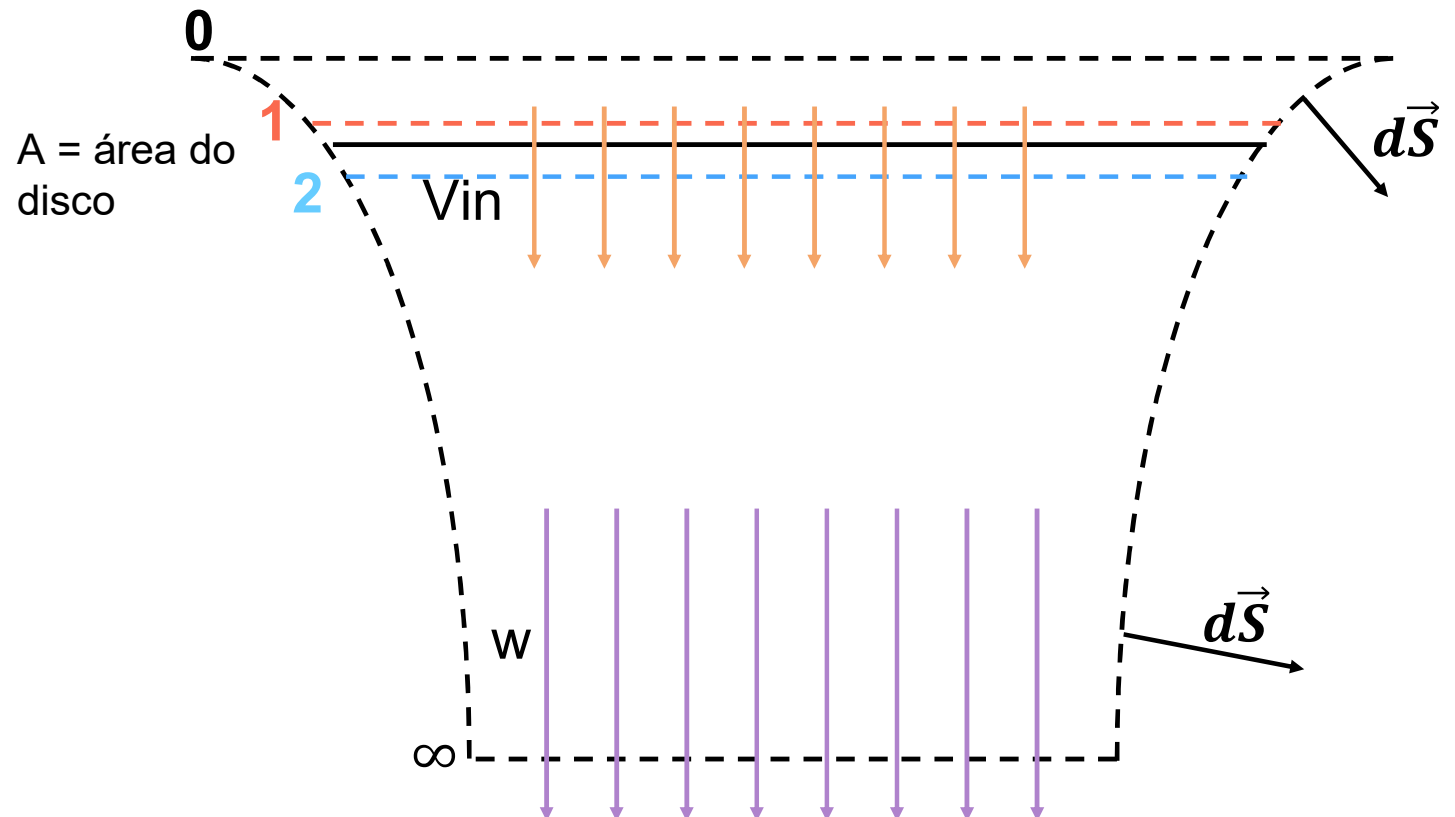
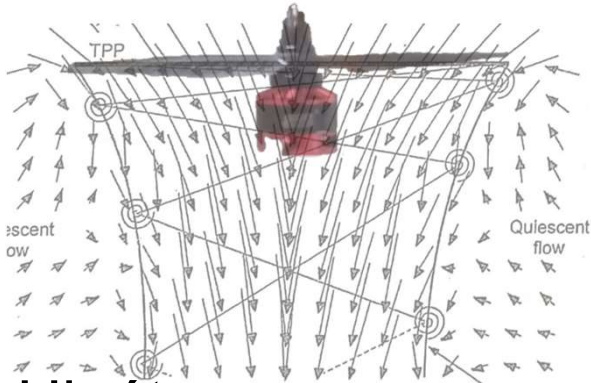
Hipóteses:

- 1) Atuador do tipo disco infinitesimal
- 2) Unidirecional
- 3) Regime Permanente
- 4) Incompressível
- 5) Invíscido (Perdas por viscosidade desconsideradas)

Hélices

Teoria do momento de Rankine-Froude :

S = área da superfície de controle



Hipóteses:

- 1) Atuador do tipo disco infinitesimal
- 2) Unidirecional
- 3) Regime Permanente
- 4) Incompressível
- 5) Invíscido (Perdas por viscosidade desconsideradas)

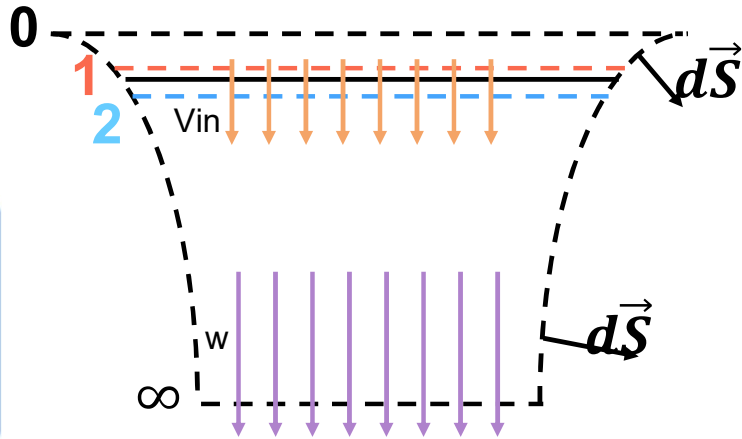
∞ , na prática, pode ser 2 diâmetros da hélice

Hélices

Teoria do momento de Rankine-Froude :

Hipóteses:

- 1) Atuador do tipo disco infinitesimal
- 2) Unidirecional
- 3) Regime Permanente
- 4) Incompressível
- 5) Invíscido (Perdas por viscosidade desconsideradas)



Conservação de massa

$$\frac{dM}{dt} = \frac{d}{dt} \int_{\forall C} \rho dV + \int_S \rho \vec{V} \cdot d\vec{s}$$

$$0 = \int_S \rho \vec{V} \cdot d\vec{s}$$

$$0 = \rho(V_{\infty}A_{\infty} - V_{disco}A_{disco})$$

$$V_{in}A_{disco} = V_{\infty}A_{\infty}$$

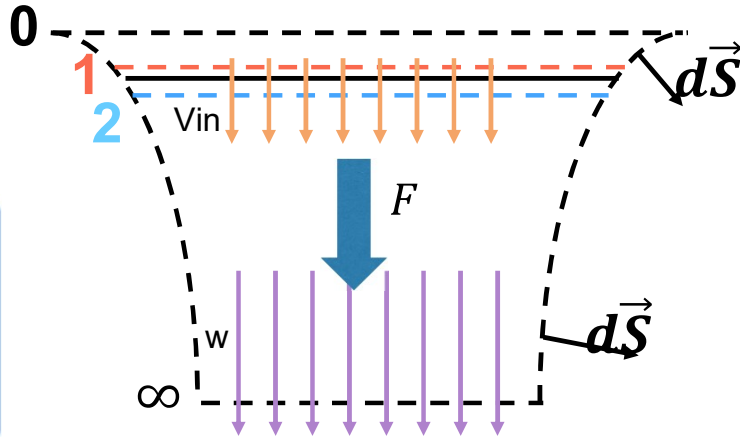
Hélices

Teoria do momento de Rankine-Froude :

Hipóteses:

- 1) Atuador do tipo disco infinitesimal
- 2) Unidirecional
- 3) Regime Permanente
- 4) Incompressível
- 5) Invíscido (Perdas por viscosidade desconsideradas)

$$V_{in} A_{disco} = V_{\infty} A_{\infty}$$



Conservação de momento

0, por (3)

$$\frac{d\vec{P}}{dt} = \vec{F} + \vec{F}_S + \vec{F}_B = \frac{d}{dt} \int_{\forall C} \vec{V} \cdot \rho d\forall + \int_S \vec{V} (\rho \vec{V} \cdot d\vec{s})$$

Em que:

$$\vec{F}_S = \int_S (-pd\vec{s}), \text{ no contorno de } S, p=0 (p=p_{atm}) \text{ (Glaubert, 1935)}$$

$\vec{F}_B = \int_{\forall C} \rho \vec{g} d\forall$, a influência do peso do ar no aumento do momento, podemos desconsiderar neste momento. (lembrando que há mudança de potencial)

Considerando (2)

0, pois $V_0 = 0$

$$-F = \iint_{\infty} \vec{V} (\rho \vec{V} \cdot d\vec{s}) - \iint_0 \vec{V} (\rho \vec{V} \cdot d\vec{s})$$

$$-F = \rho A_{\infty} w^2 = \dot{m}_{\infty} w$$

Hélices

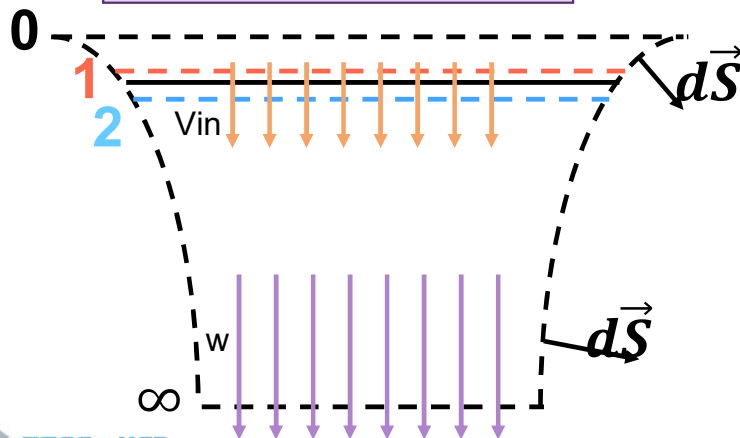
Teoria do momento de Rankine-Froude :

Hipóteses:

- 1) Atuador do tipo disco infinitesimal
- 2) Unidirecional
- 3) Regime Permanente
- 4) Incompressível
- 5) Invíscido (Perdas por viscosidade desconsideradas)

$$V_{in} A_{disco} = V_{\infty} A_{\infty}$$

$$-F = \rho A_{\infty} w^2 = \dot{m}_{\infty} w$$



Conservação de energia

$$\dot{Q} - \dot{W} = \frac{d}{dt} \int_{VC} e \rho dV + \int_S e \rho \vec{V} \cdot d\vec{S}$$

0, por (3)

Em que:

$e = u + \frac{v^2}{2} + gz + p/\rho$, considerando que não há mudança de temperatura, que a mudança de potencial está relacionada a força de campo, e a pressão manométrica é 0.

Portanto, $e = \frac{v^2}{2}$

$$-F v_{in} = \iint_{\infty} \frac{\vec{V}^2}{2} (\rho \vec{V} \cdot d\vec{S}) - \iint_0 \frac{\vec{V}^2}{2} (\rho \vec{V} \cdot d\vec{S})$$

0, pois $V_0 = 0$

$$-F v_{in} = \frac{1}{2} \rho A_{\infty} w^3$$

Hélices

Teoria do momento de Rankine-Froude :

Hipóteses:

- 1) Atuador do tipo disco infinitesimal
- 2) Unidirecional
- 3) Regime Permanente
- 4) Incompressível
- 5) Invíscido (Perdas por viscosidade desconsideradas)

$$V_{in}A_{disco} = V_{\infty}A_{\infty}$$

$$-F = \rho A_{\infty} w^2 = \dot{m}_{\infty} w$$

$$-F v_{in} = 0.5 \rho A_{\infty} w^3$$

Substituindo:

$$\rho A_{\infty} w^2 v_{in} = 0.5 \rho A_{\infty} w^3$$

$$v_{in} = \frac{w}{2}$$

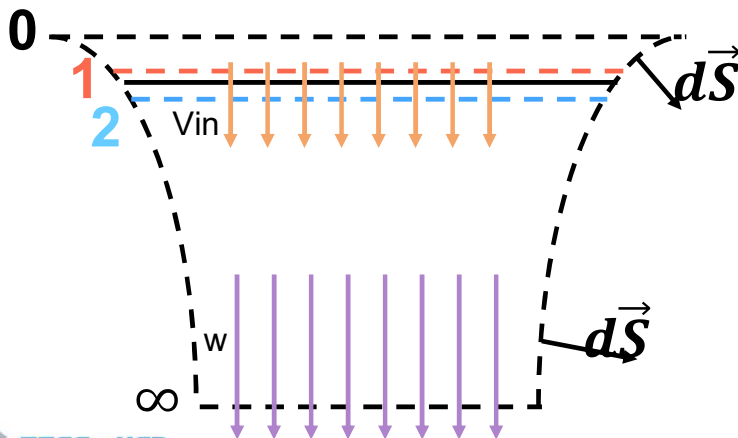
Portanto:

$$V_{in}A_{disco} = wA_{\infty}$$

$$\frac{w}{2} \pi r^2 = w \pi r_{\infty}^2$$

$$\frac{r\sqrt{2}}{2} = r_{\infty}$$

Na prática, a redução é de 0.78, não 0.707



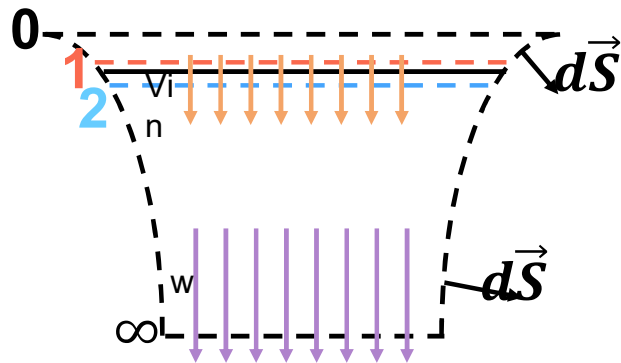
Hélices

Teoria do momento de Rankine-Froude :

Hipóteses:

- 1) Atuador do tipo disco infinitesimal
- 2) Unidirecional
- 3) Regime Permanente
- 4) Incompressível
- 5) Invíscido (Perdas por viscosidade desconsideradas)

$V_{in}A_{disco} = V_{\infty}A_{\infty}$	$v_{in} = 0.5w$
$-F = \rho A_{\infty} w^2 = \dot{m}_{\infty} w$	$\frac{r\sqrt{2}}{2} = r_{\infty}$
$-Fv_{in} = 0.5\rho A_{\infty} w^3$	



Por ação e reação, a força que acelera o fluido, tem uma reação no motor de mesma magnitude e sentido contrário. Portanto:

$$-F = T \text{ (empuxo)}$$

Então:

$$T = \dot{m}_{\infty} w = \dot{m}_{disco} w$$

$$T = \rho A_{disco} v_{in} (2v_{in})$$

$$T = 2\rho A_{disco} v_{in}^2$$

Portanto

$$v_{in} = \sqrt{\frac{T}{2\rho A_{disco}}}$$

Hélices

Teoria do momento de Rankine-Froude :

Hipóteses:

- 1) Atuador do tipo disco infinitesimal
- 2) Unidirecional
- 3) Regime Permanente
- 4) Incompressível
- 5) Invíscido (Perdas por viscosidade desconsideradas)

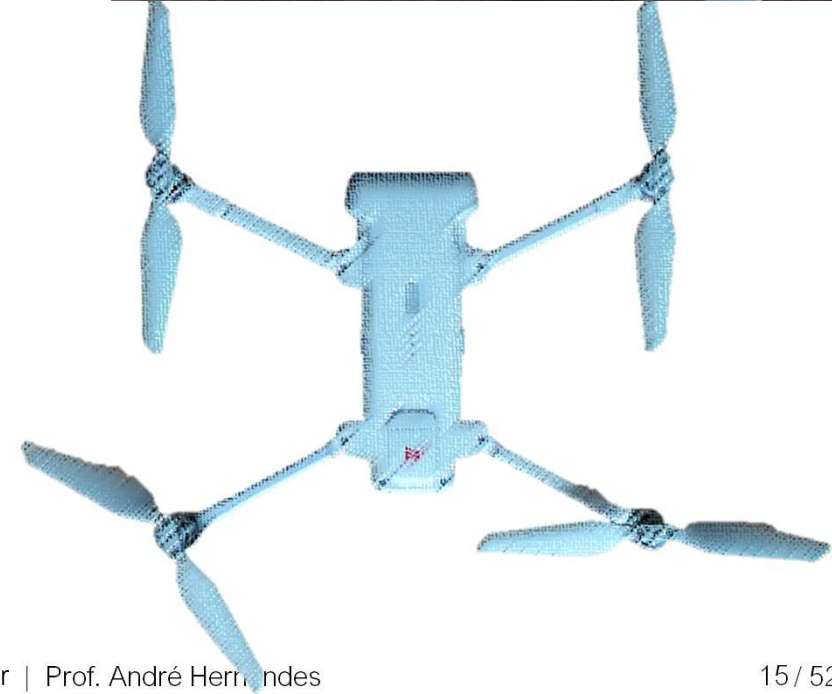
$$v_{in} = \sqrt{\frac{T}{2\rho A_{disco}}}$$

Exemplo: FIMI X8 SE

Massa 790 g

Raio da hélice 11 cm

Mas qual a densidade do ar?



Hélices

Teoria do momento de Rankine-Froude :

Hipóteses:

- 1) Atuador do tipo disco infinitesimal
- 2) Unidirecional
- 3) Regime Permanente
- 4) Incompressível
- 5) Invíscido (Perdas por viscosidade desconsideradas)

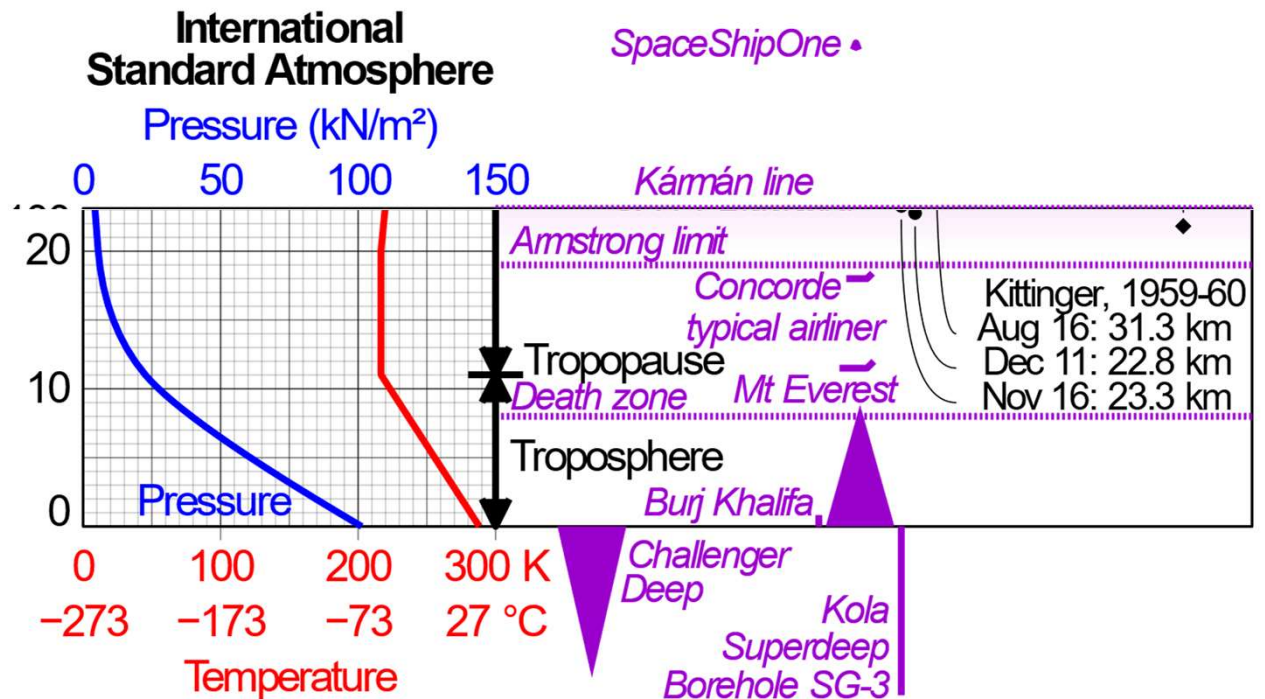
$$v_{in} = \sqrt{\frac{T}{2\rho A_{disco}}}$$

Exemplo: FIMI X8 SE

Massa 790 g

Raio da hélice 11 cm

Mas qual a densidade do ar?



By Cmglee - Own work, CC BY-SA 3.0,
<https://commons.wikimedia.org/w/index.php?curid=23450463>

Hélices

Teoria do momento de Rankine-Froude :

Hipóteses:

- 1) Atuador do tipo disco infinitesimal
- 2) Unidirecional
- 3) Regime Permanente
- 4) Incompressível
- 5) Invíscido (Perdas por viscosidade desconsideradas)

$$v_{in} = \sqrt{\frac{T}{2\rho A_{disco}}}$$

Exemplo: FIMI X8 SE

Massa 790 g

Raio da hélice 11 cm

Mas qual a densidade do ar?

Altitude de densidade:

$$\sigma' = \frac{\rho}{\rho_0} = \frac{288.16}{T + 273.16} \left(1 - \frac{0.0064993 h_m}{288.16} \right)$$

h_m , onde é altura em metros de operação

T , onde é temperatura em °C

ρ_0 , a densidade padrão no nível do mar 1.225 kg/m^3

Lembrando que é para o ar seco!

Hélices

Teoria do momento de Rankine-Froude :

Hipóteses:

- 1) Atuador do tipo disco infinitesimal
- 2) Unidirecional
- 3) Regime Permanente
- 4) Incompressível
- 5) Invíscido (Perdas por viscosidade desconsideradas)

$$v_{in} = \sqrt{\frac{T}{2\rho A_{disco}}}$$

Exemplo: FIMI X8 SE

Massa 790 g

Raio da hélice 11 cm

$$\rho = 1.225 \frac{288.16}{T + 273.16} \left(1 - \frac{0.0064993 h_m}{288.16} \right)$$

Para operar em São Carlos:



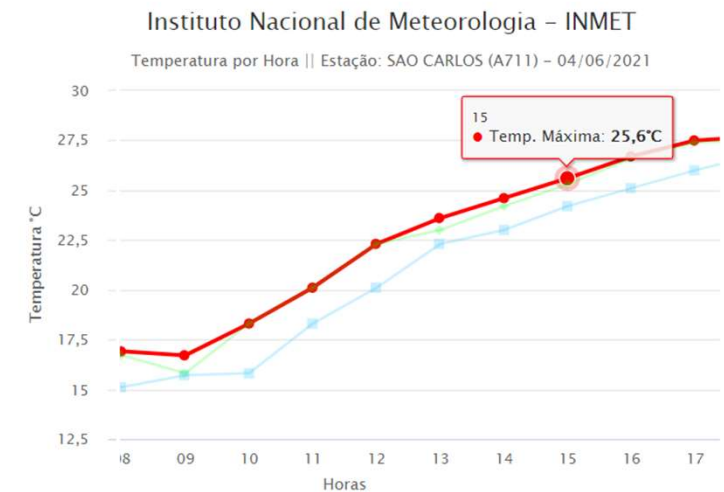
ABRIR / FECHAR

INMET :: Tempo

Produto: Seleccione

- Seleccione
- Análise Sinótica
- Condições de Tempo Registradas nas Capitais
- Gráficos Horários de Estações Automáticas
- Gráficos Diários de Estações
- Gráficos Anuais de Estações Automáticas
- Mapas de Condições Registradas
- Mapas de Precipitação
- Sondagem
- Tabela de Dados das Estações
- Valores Extremos
- WIGOS

<https://mapas.inmet.gov.br/>



Hélices

Teoria do momento de Rankine-Froude :

Hipóteses:

- 1) Atuador do tipo disco infinitesimal
- 2) Unidirecional
- 3) Regime Permanente
- 4) Incompressível
- 5) Invíscido (Perdas por viscosidade desconsideradas)

$$v_{in} = \sqrt{\frac{T}{2\rho A_{disco}}}$$

Exemplo: FIMI X8 SE

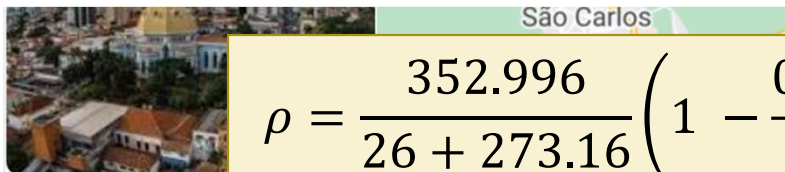
Massa 790 g

Raio da hélice 11 cm

04/06/2021 - $T = 25.6 \text{ }^\circ\text{C}$

$$\rho = 1.225 \frac{288.16}{T + 273.16} \left(1 - \frac{0.0064993 h_m}{288.16} \right)$$

Para operar em São Carlos:



$$\rho = \frac{352.996}{26 + 273.16} \left(1 - \frac{0.0064993 \cdot (120 + 856)}{288.16} \right)$$

São Carlos

Município em São Paulo

São Carlos é um município brasileiro localizado no interior do estado de São Paulo, na região Centro-Leste, e a uma distância rodoviária de 231 quilômetros da capital paulista. [Wikipédia](#)

Elevação: 856 m

Área: 1.137 km²

$$\rho = 1.154 \text{ kg/m}^3$$

Hélices

Teoria do momento de Rankine-Froude :

Hipóteses:

- 1) Atuador do tipo disco infinitesimal
- 2) Unidirecional
- 3) Regime Permanente
- 4) Incompressível
- 5) Invíscido (Perdas por viscosidade desconsideradas)

$$v_{in} = \sqrt{\frac{T}{2\rho A_{disco}}}$$

Exemplo: FIMI X8 SE

Massa 790 g

Raio da hélice 11 cm

$$\rho = 1.154 \text{ kg/m}^3$$

Para operar em São Carlos, também temos um alívio na gravidade:

<https://www.google.com/maps/place/São+Carlos,+SP/@-22.018525,-47.9660979>

$$g = 9.780327(1 + A\sin^2L - B\sin^22L) - 3,086 \times 10^{-6}H$$

$$A = 0.0053024$$

$$B = 0.0000058$$

$$L = -22.018525 * \frac{\pi}{180}$$

$$H = 120 + 856$$

$$g = 9.780327(1 + A\sin^2L - B\sin^22L) - 3,086 \times 10^{-6}H$$

$$g = 9.758$$

<https://www.isobudgets.com/how-to-calculate-local-gravity/>

SEM5946 — Prof. Assoc. Marcelo Becker | Prof. André Hernandes

20 / 52

Hélices

Teoria do momento de Rankine-Froude :

Hipóteses:

- 1) Atuador do tipo disco infinitesimal
- 2) Unidirecional
- 3) Regime Permanente
- 4) Incompressível
- 5) Invíscido (Perdas por viscosidade desconsideradas)

$$v_{in} = \sqrt{\frac{T}{2\rho A_{disco}}}$$

Exemplo: FIMI X8 SE

Massa 790 g

Raio da hélice 11 cm

$$\rho = 1.154 \text{ kg/m}^3$$

Substituindo:

$$v_{in} = \sqrt{\frac{g * m/4}{2\rho A_{disco}}}$$

$$v_{in} = \sqrt{\frac{9.758 * 0.79/4}{2 * 1.154 * \pi(0.11)^2}}$$

$$v_{in} = 4.687 \text{ m/s}$$

$$P_{min} = T * v_{in} = 9.758 * 0.79/4 * 4.687$$

$$P_{min} = T * v_{in} \approx 9W/\text{motor}$$

Hélices

Teoria do momento de Rankine-Froude :

Hipóteses:

- 1) Atuador do tipo disco infinitesimal
- 2) Unidirecional
- 3) Regime Permanente
- 4) Incompressível
- 5) Invíscido (Perdas por viscosidade desconsideradas)

$$v_{in} = \sqrt{\frac{T}{2\rho A_{disco}}}$$

$$v_{in} = 4.687 \text{ m/s}$$

$$\rho = 1.154 \text{ kg/m}^3$$

$$P_{min} \approx 9W/\text{motor}$$

E se estivermos no nível do mar, a temperatura padrão

$$v_{in} = \sqrt{\frac{g * m/4}{2\rho A_{disco}}}$$

$$v_{in} = \sqrt{\frac{9.81 * 0.79/4}{2 * 1.225 * \pi(0.11)^2}}$$

$$v_{in} = 4.561 \text{ m/s}$$

$$P_{min} = T * v_{in} = 9.81 * 0.79/4 * 4.561$$

$$P_{min} = T * v_{in} \approx 8.84 \text{ W/motor}$$

Hélices

Teoria do momento de Rankine-Froude :

Hipóteses:

- 1) Atuador do tipo disco infinitesimal
- 2) Unidirecional
- 3) Regime Permanente
- 4) Incompressível
- 5) Invíscido (Perdas por viscosidade desconsideradas)

$$v_{in} = \sqrt{\frac{T}{2\rho A_{disco}}}$$

$$v_{in} = 4.561 \text{ m/s}$$

$$\rho = 1.154 \text{ kg/m}^3$$

$$P_{min} \approx 8,84 \text{ W/motor}$$

Comparemos, agora, duas variáveis para comparações de aeronaves:
Carregamento de disco (*Disk Loading* - DL):

$$DL = \frac{T}{A} [N \cdot m^{-2}]$$

$$DL = \frac{9.81 * 0.79/4}{\pi(0.11)^2/4}$$

$$DL = 203.87 \text{ N} \cdot \text{m}^{-2}$$

$$DL = 4.258 \text{ lb} \cdot \text{ft}^{-2}$$

Carregamento de potência (*Power Loading* - PL):

$$PL = \frac{T}{P} [N \cdot kW^{-1}]$$

Como a potência ideal induzida é $P = T \cdot v_i$, temos:

$$v_i = (PL)^{-1}$$

$$PL = 219.25 \text{ N} \cdot \text{kW}^{-1}$$

$$PL = 36.755 \text{ lb} \cdot \text{hp}^{-1}$$

Hélices

Teoria do momento de Rankine-Froude :

Hipóteses:

- 1) Atuador do tipo disco infinitesimal
- 2) Unidirecional
- 3) Regime Permanente
- 4) Incompressível
- 5) Invíscido (Perdas por viscosidade desconsideradas)

$$v_{in} = \sqrt{\frac{T}{2\rho A_{disco}}}$$

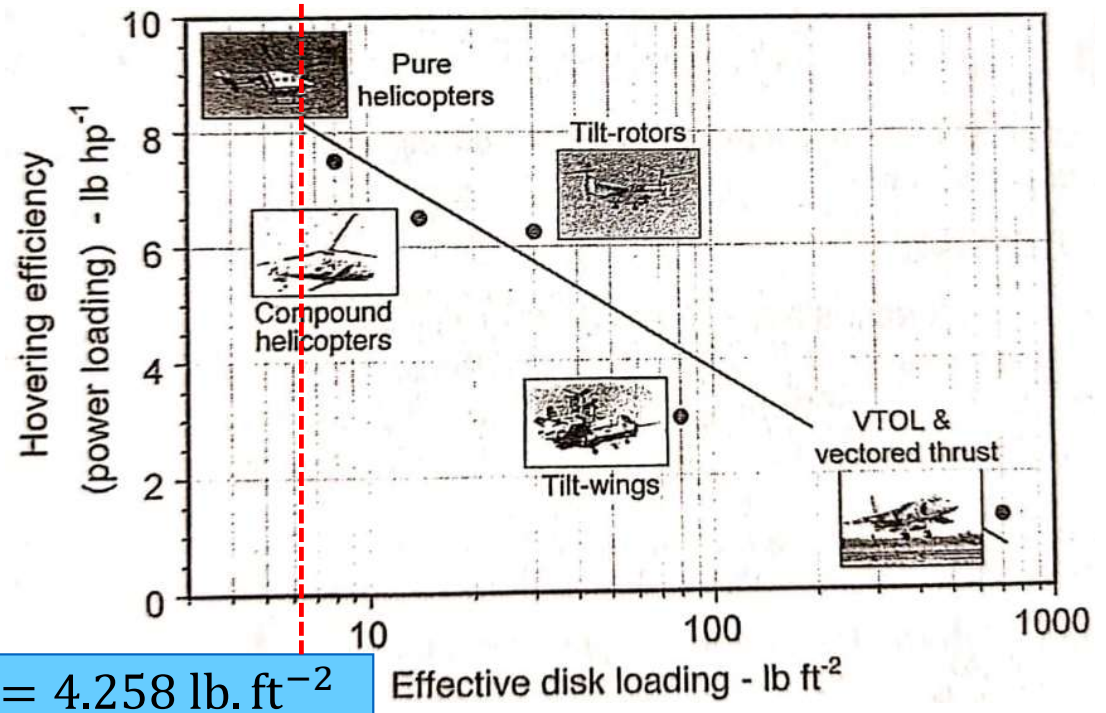
$$v_{in} = 4.561 \text{ m/s}$$

$$\rho = 1.154 \text{ kg/m}^3$$

$$P_{min} \approx 8,84W/\text{motor}$$

Comparemos, agora, duas variáveis para comparações de aeronaves:

$$PL = 36.755 \text{ lb. hp}^{-1}$$



$$DL = 4.258 \text{ lb. ft}^{-2}$$

Effective disk loading - lb ft^{-2}

Hélices

Teoria do momento de Rankine-Froude :

Hipóteses:

- 1) Atuador do tipo disco infinitesimal
- 2) Unidirecional
- 3) Regime Permanente
- 4) Incompressível
- 5) Invíscido (Perdas por viscosidade desconsideradas)

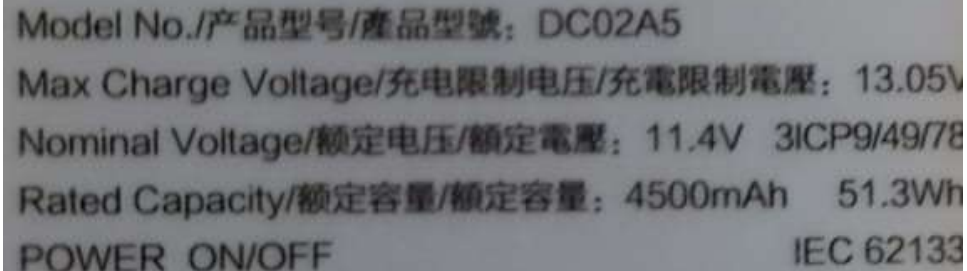
$$v_{in} = \sqrt{\frac{T}{2\rho A_{disco}}}$$

$$v_{in} = 4.687 \text{ m/s}$$

$$\rho = 1.154 \text{ kg/m}^3$$

$$P_{min} \approx 9W/\text{motor}$$

Olhando a bateria:



Model No./产品型号/產品型號: DC02A5
Max Charge Voltage/充电限制电压/充電限制電壓: 13.05V
Nominal Voltage/额定电压/額定電壓: 11.4V 3ICP9/49/78
Rated Capacity/额定容量/額定容量: 4500mAh 51.3Wh
POWER ON/OFF IEC 62133

Façamos algumas considerações:

Não podemos usar 100% da carga da bateria (Lipo), usaremos 70%.

Além dos motores, colocaremos mais:

- 5 W para a eletrônica
- Eficiência de conversão em 90%.
- 9 W de consumo do servos do gimbal (3W por servo)

Hélices

Teoria do momento de Rankine-Froude :

Hipóteses:

- 1) Atuador do tipo disco infinitesimal
- 2) Unidirecional
- 3) Regime Permanente
- 4) Incompressível
- 5) Invíscido (Perdas por viscosidade desconsideradas)

$$v_{in} = \sqrt{\frac{T}{2\rho A_{disco}}}$$

$$v_{in} = 4.687 \text{ m/s}$$

$$\rho = 1.154 \text{ kg/m}^3$$

$$P_{min} \approx 9W/\text{motor}$$

Olhando a bateria:

$$t = \frac{C * V_{nominal} * \eta}{P_{total}} * 60$$

$$t = \frac{4.5 * 11.4 * 0.7}{\left(4 * \frac{9}{0.9}\right) + 14} * 60$$

$$t \approx 40 \text{ min}$$

SEM NADA, APENAS EM HOVER! Considerando a hélice perfeita

Hélices

Adimensionais:

- Adimensionais nos ajudam a comparar performances e nos ajudam na análise e projeto
- Para hélices, no Brasil, temos:

$$C_T = \frac{T}{\frac{1}{2} \rho A (\Omega R)^2} \quad C_Q = \frac{Q}{\frac{1}{2} \rho A R (\Omega R)^2} \quad C_P = \frac{P}{\frac{1}{2} \rho A (\Omega R)^3} \quad \lambda_i = \frac{v_i}{\Omega R}$$

Onde:

ρ , densidade do ar

Ω , velocidade de rotação

R, raio da hélice

A, área do disco

T, Q, P, Empuxo, torque de carga, potência

v_i , Velocidade induzida

C_T, C_Q, C_P , coeficientes adimensionais de empuxo, torque e potência

λ_i , razão de influxo

Hélices

Adimensionais:

Hipóteses para análise:

- Coeficiente de influxo uniforme
- Sem perdas por viscosidade
- Hélice em pair (Hover)

Olhando a razão de influxo:

$$\lambda_i = \frac{v_i}{\Omega R} = \frac{1}{\Omega R} \sqrt{\frac{T}{2\rho A}} \Rightarrow \sqrt{\frac{\frac{1}{2}\rho C_T A (\Omega R)^2}{2\rho A (\Omega R)^2}} \Rightarrow \frac{\sqrt{C_T}}{2}$$

Hélices

Adimensionais:

Hipóteses para análise:

- Coeficiente de influxo uniforme
- Sem perdas por viscosidade
- Hélice em pairô (Hover)

$$\lambda_i = \frac{\sqrt{C_T}}{2}$$

Potência ideal:

$$C_P = \frac{P}{\frac{1}{2} \rho A (\Omega R)^3} \Rightarrow \frac{T v_i}{\frac{1}{2} \rho A (\Omega R)^3} \Rightarrow \left(\frac{T}{\frac{1}{2} \rho A (\Omega R)^2} \right) \left(\frac{v_i}{\Omega R} \right) = C_T \lambda_i \Rightarrow \frac{C_T^{3/2}}{2}$$

Hélices

Efeitos não-ideais

Corrigimos a teoria de momento para adicionar:

- Influxo não-uniforme
- Perdas de ponta
- Esteira rotativa
- Contração da esteira não-ideal
- Número Finito de hélices
- Arrasto no perfil
- Entre outros ..

Algumas hipóteses:

- Assumirmos o arrasto da sessão do perfil constante (C_{d0}) e independente de Reynolds e Mach
 - Se a corda da hélice não muda
- ΩR é muito maior que a velocidade induzida

Onde:

$$C_P = C_{Pi} + C_{P0} = \frac{kC_T^{3/2}}{2} + \frac{\sigma C_{d0}}{4}$$

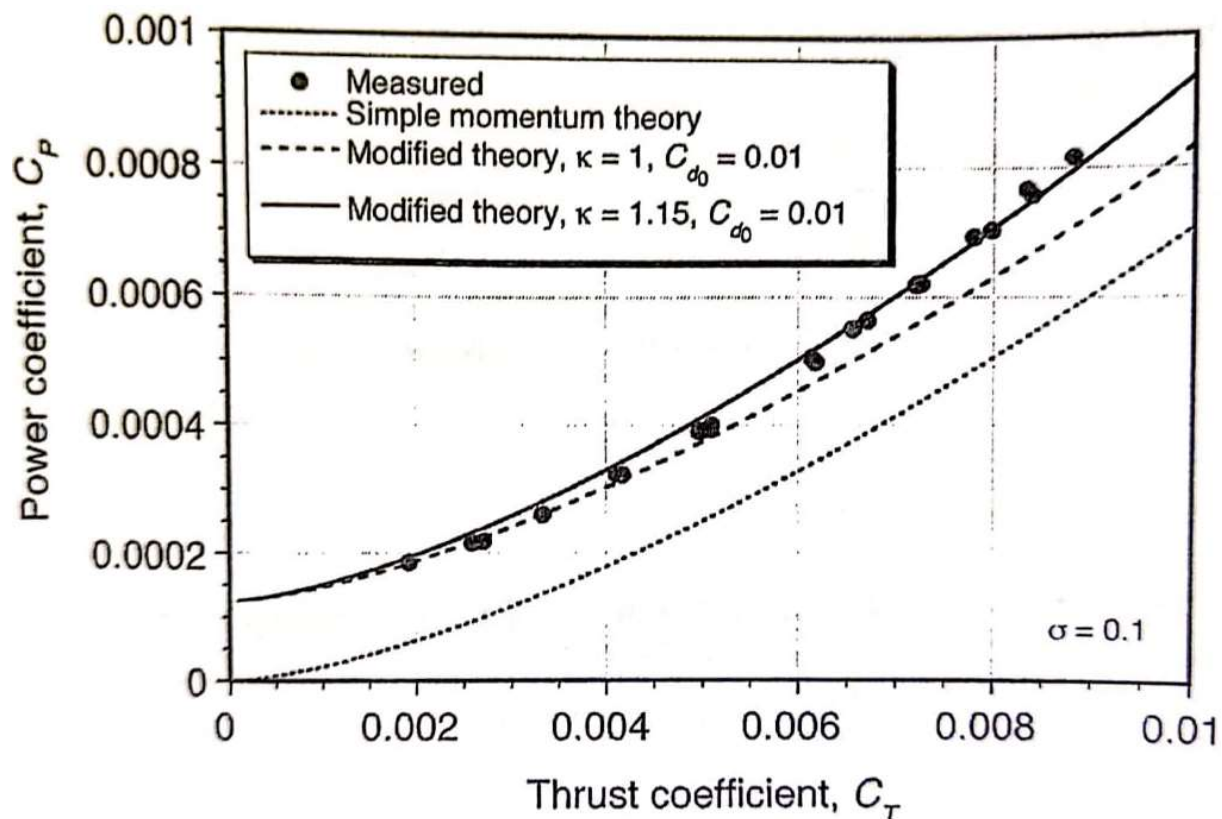
$$\sigma = \frac{N_b c}{\pi R}, \text{ Solidez da hélice (área hélice/área disco)}$$

k , Fator de potência induzida

Hélices

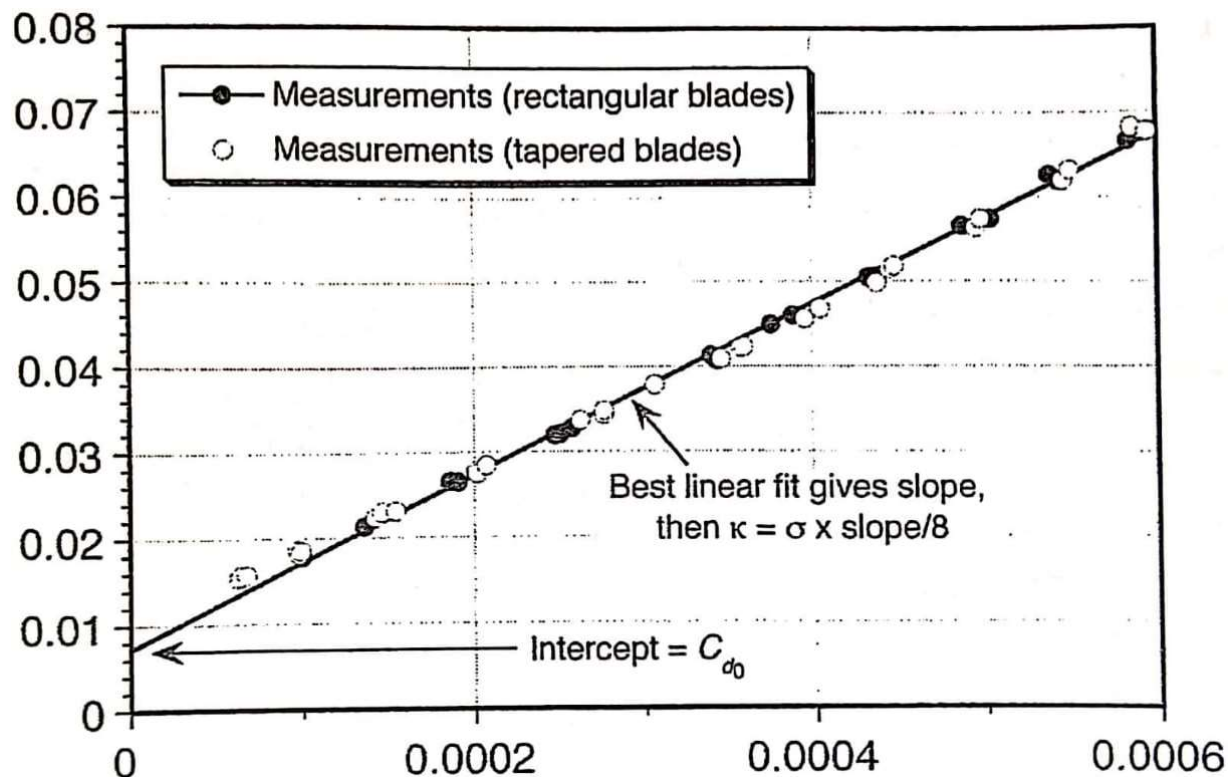
Efeitos não-ideais

$$C_P = C_{Pi} + C_{P0} = \frac{kC_T^{3/2}}{2} + \frac{\sigma C_{d0}}{4}$$



Hélices

Efeitos não-ideais



$$C_P = C_{Pi} + C_{P0} = \frac{kC_T^{3/2}}{2} + \frac{\sigma C_{d0}}{4}$$

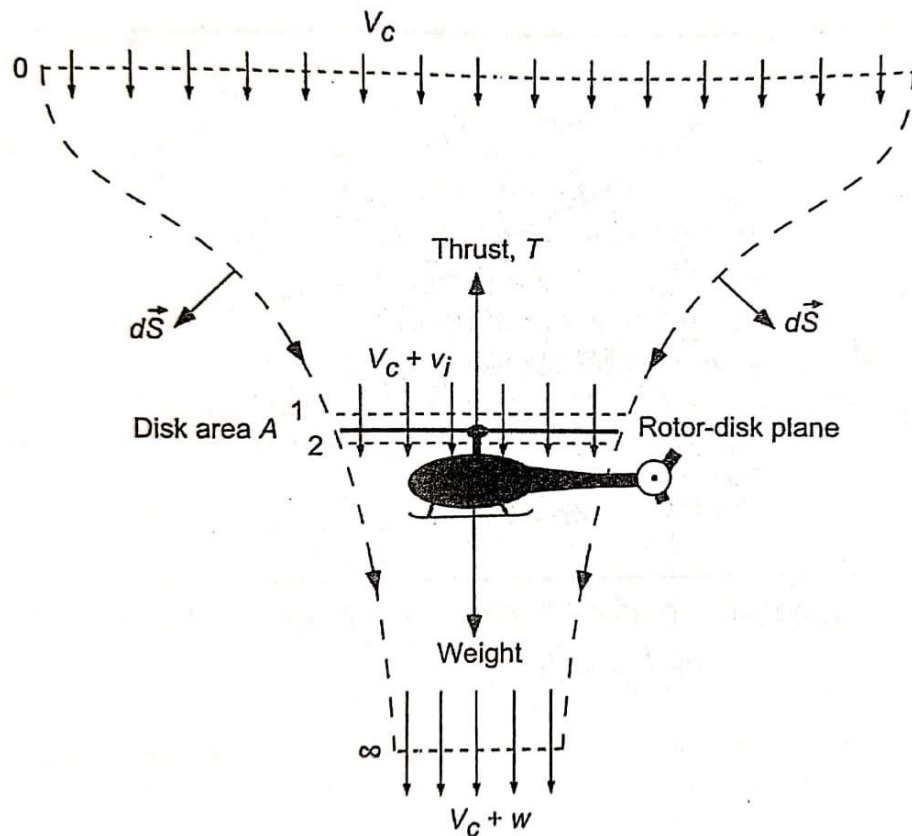
$$C_P = k \frac{C_T^{3/2}}{2} + \frac{\sigma}{4} C_{d0}$$

$$\frac{4C_P}{\sigma} = k \frac{2C_T^{3/2}}{\sigma} + C_{d0}$$

$$x = \frac{2C_T^{3/2}}{\sigma} \quad y = \frac{4C_P}{\sigma}$$

Hélices

Teoria do momento para subida



$$v_{hover} = \sqrt{\frac{T}{2\rho A_{disco}}}$$

$$v_{in} = \frac{w}{2}$$

$$\dot{m} = \rho(V_C + v_{in})A_{disco}$$

$$T = \dot{m}_{\infty} w$$

$$T = 2\rho(V_C + v_{in})A_{disco}v_{in}$$

$$\frac{T}{2\rho A_{disco}} = (V_C + v_{in})v_{in}$$

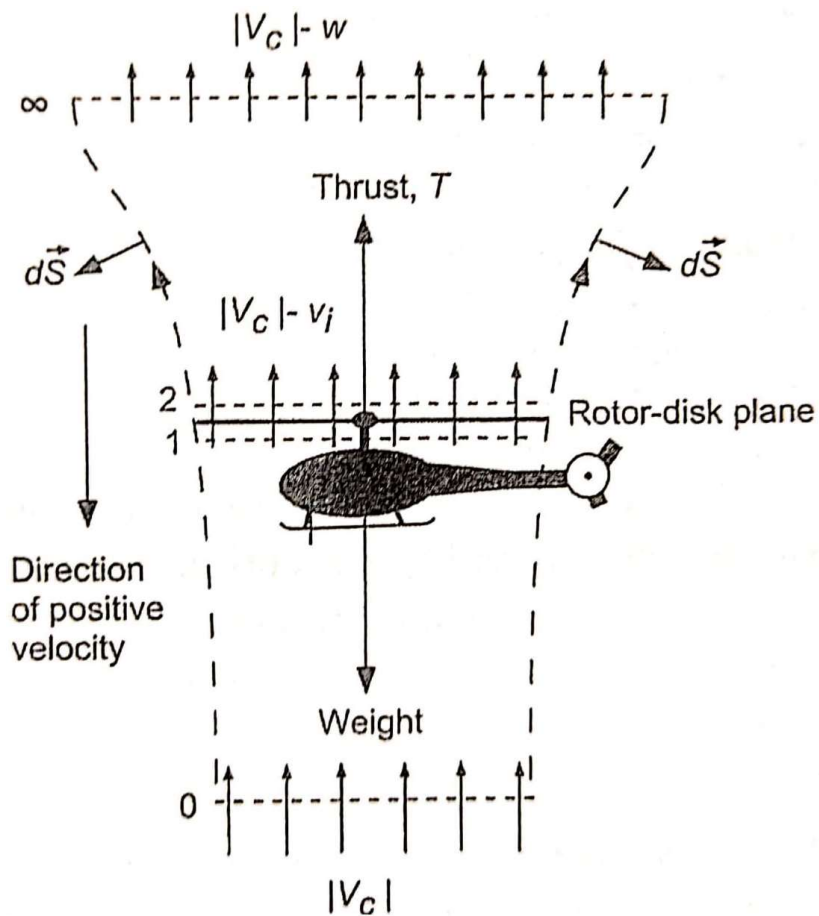
$$v_{hover}^2 = (V_C + v_{in})v_{in}$$

$$\left(\frac{v_{in}}{v_{hover}}\right)^2 + \left(\frac{V_C}{v_{hover}}\right)\left(\frac{v_{in}}{v_{hover}}\right) - 1 = 0$$

$$\frac{v_{in}}{v_{hover}} = -\frac{V_C}{2v_{hover}} + \sqrt{\left(\frac{V_C}{2v_{hover}}\right)^2 + 1}$$

Hélices

Teoria do momento para descida



$$v_{hover} = \sqrt{\frac{T}{2\rho A_{disco}}}$$

$$\dot{m} = \rho(V_c + v_{in})A_{disco}$$

$$T = -\dot{m}_\infty w$$

$$T(V_c + v_{in}) = -0.5\dot{m}w(2V_c + w)$$

$$2v_{in} = w$$

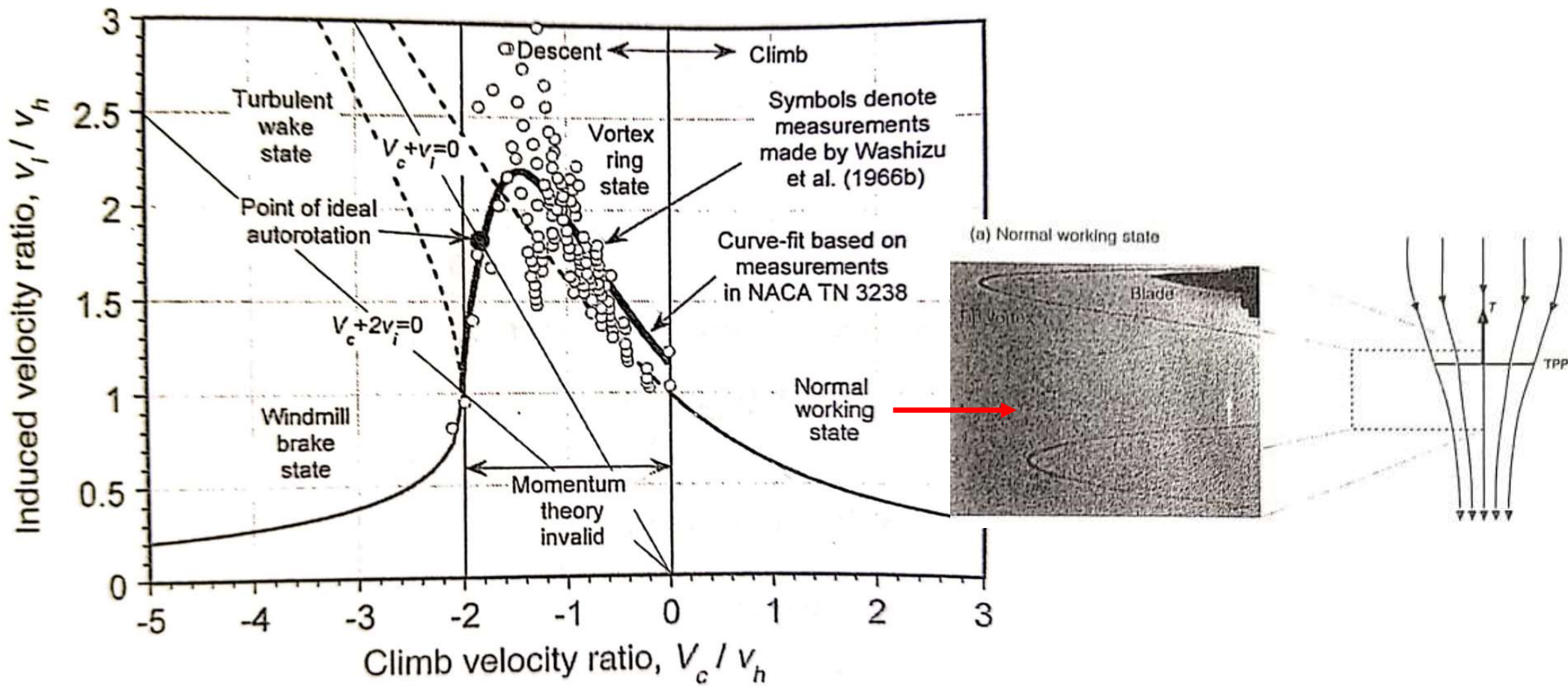
$$\left(\frac{v_{in}}{v_{hover}}\right)^2 + \left(\frac{V_c}{v_{hover}}\right)\left(\frac{v_{in}}{v_{hover}}\right) + 1 = 0$$

$$\frac{v_{in}}{v_{hover}} = -\frac{V_c}{2v_{hover}} - \sqrt{\left(\frac{V_c}{2v_{hover}}\right)^2 - 1}$$

Válido apenas para $\frac{V_c}{v_{hover}} \leq -2$

Hélices

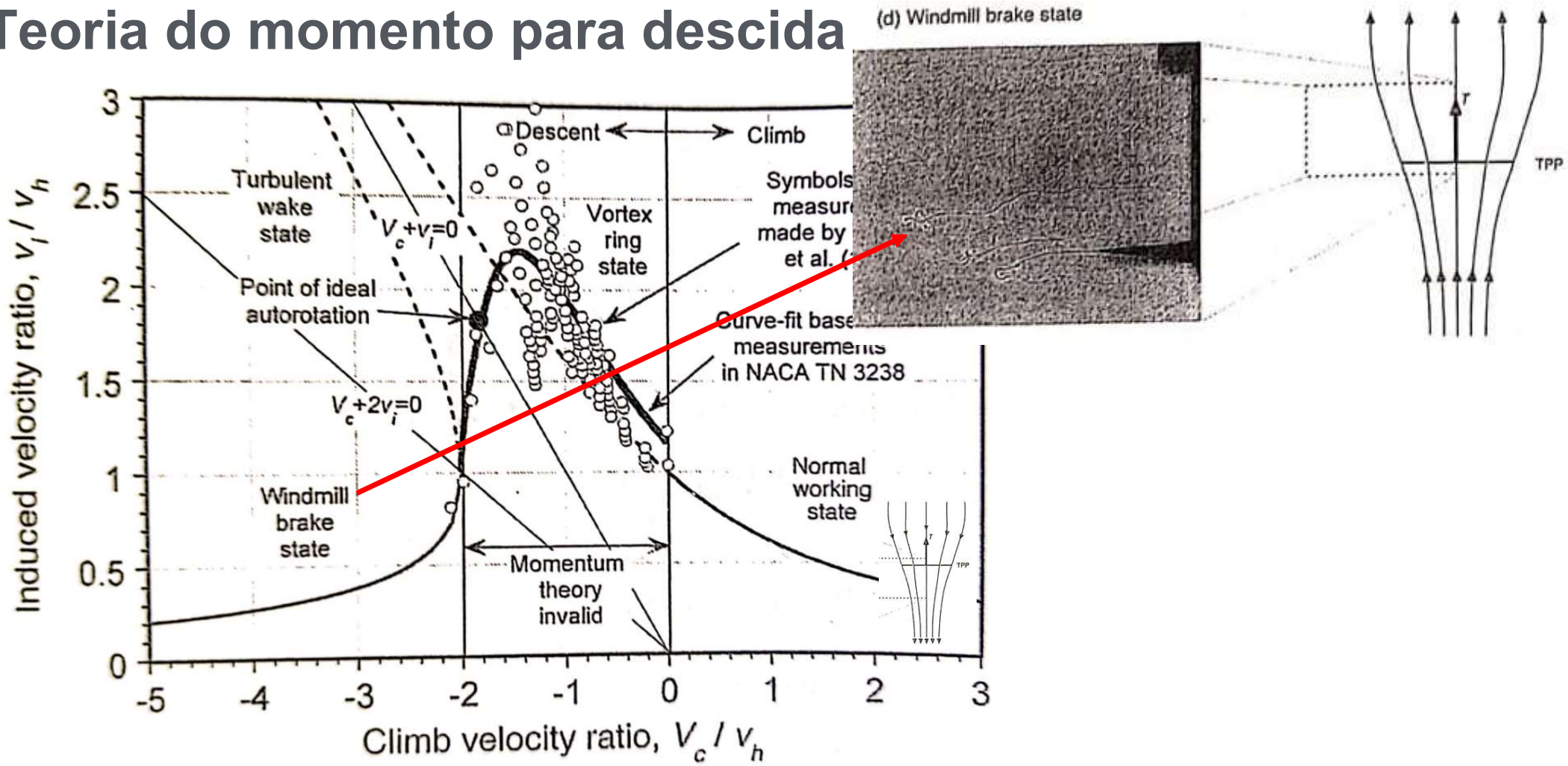
Teoria do momento para descida



Introdução
Hélices
Conclusão

Hélices

Teoria do momento para descida



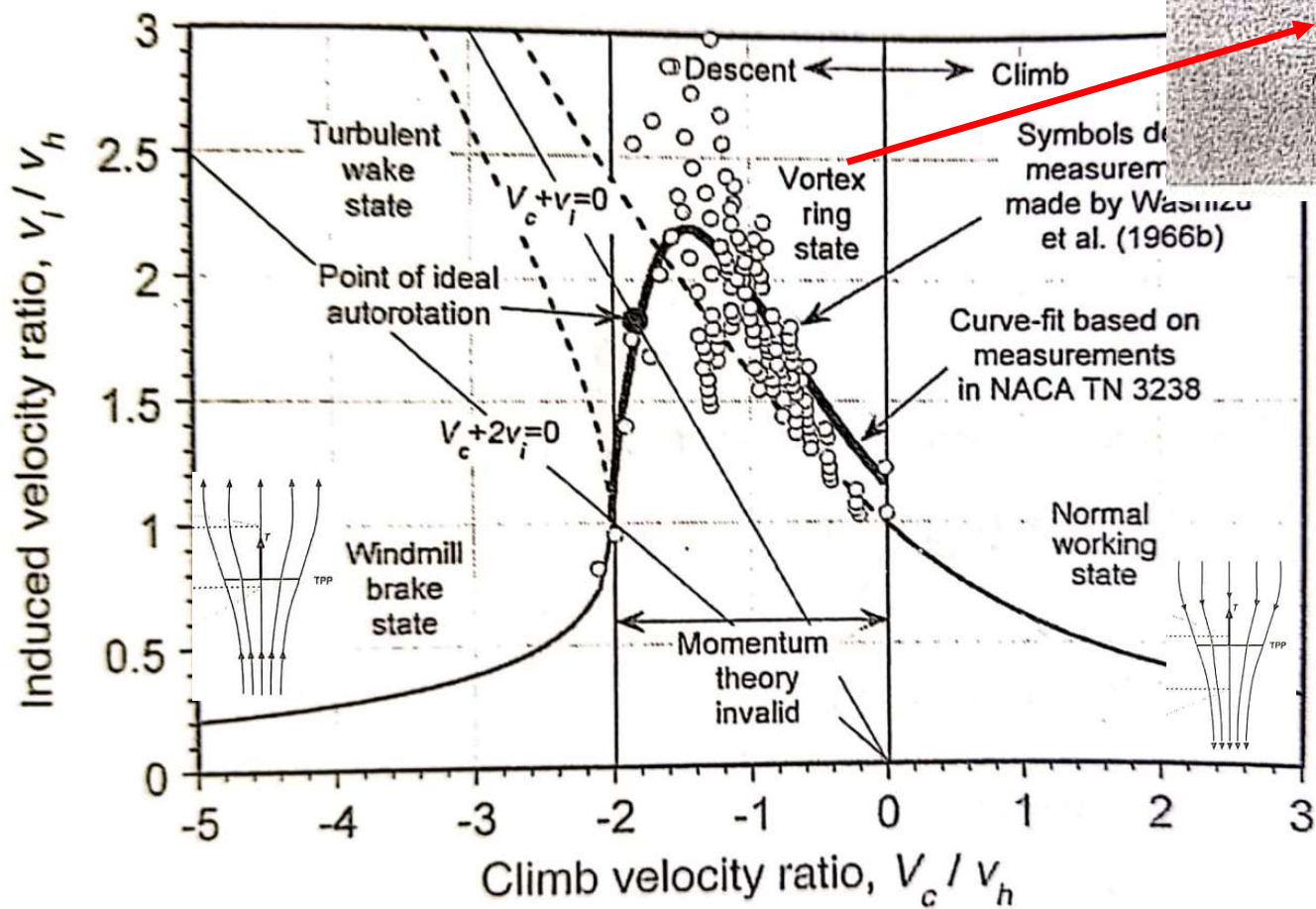
Introdução

Hélices

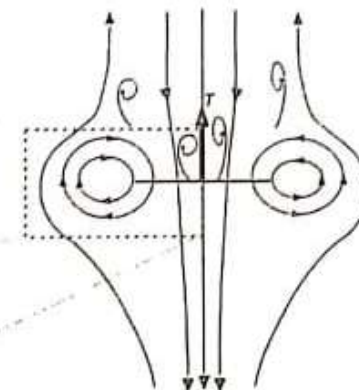
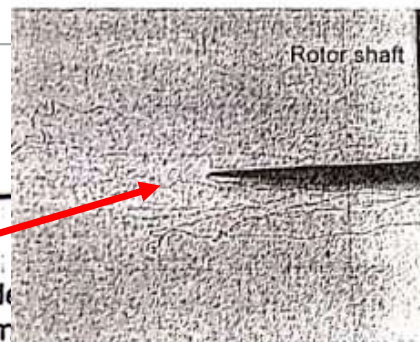
Conclusão

Hélices

Teoria do momento para descida

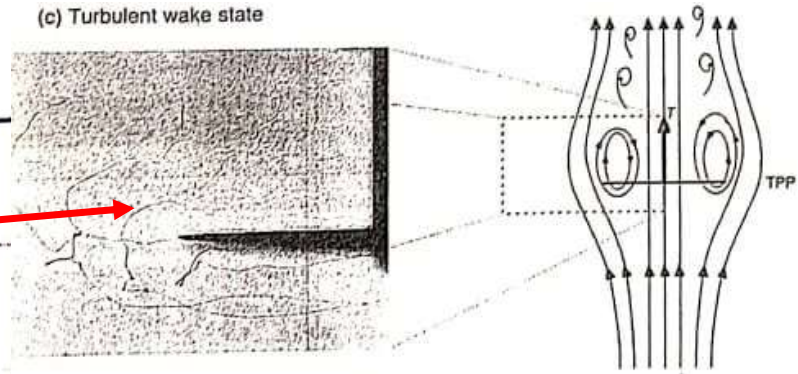
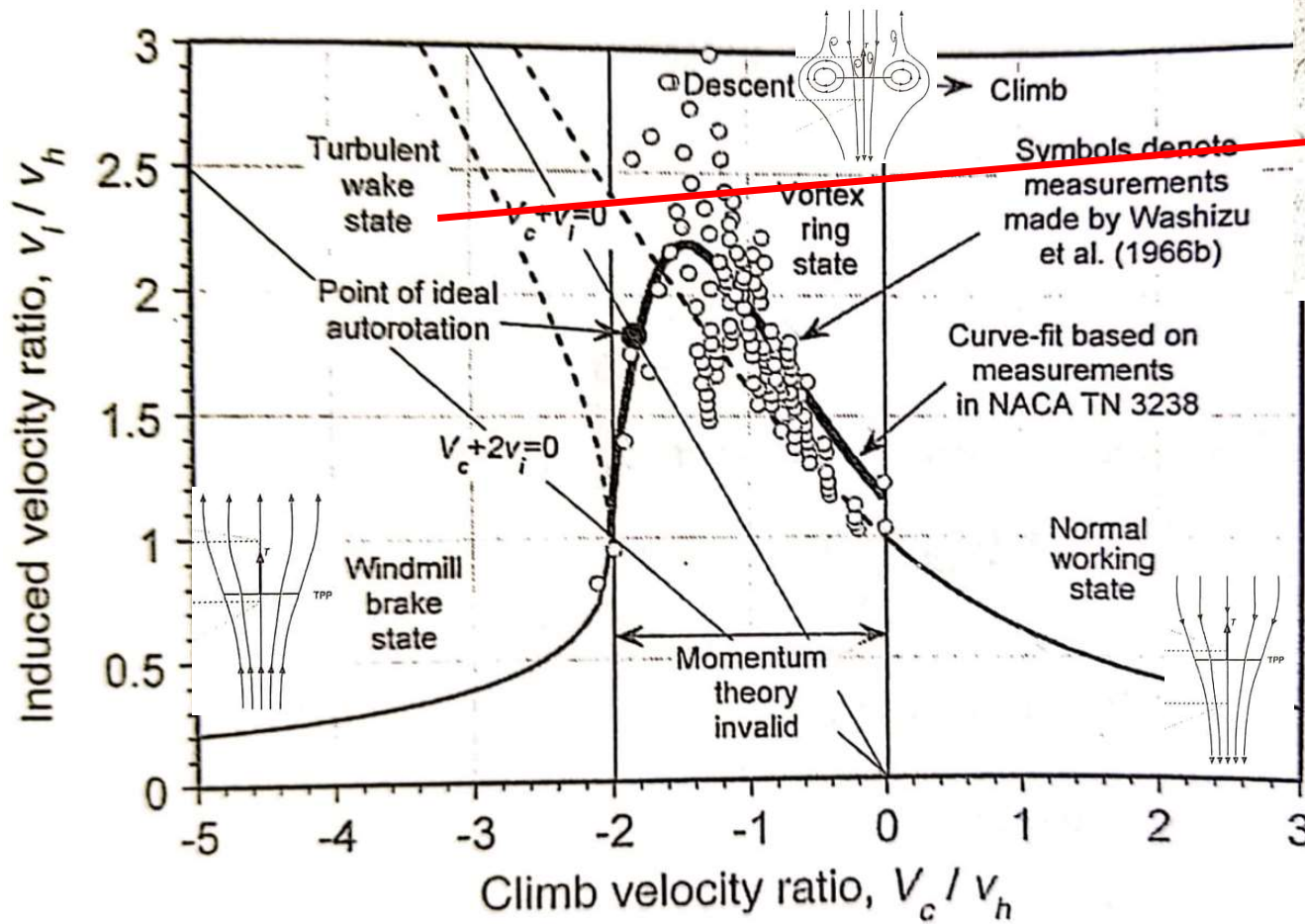


(b) Vortex ring state



Hélices

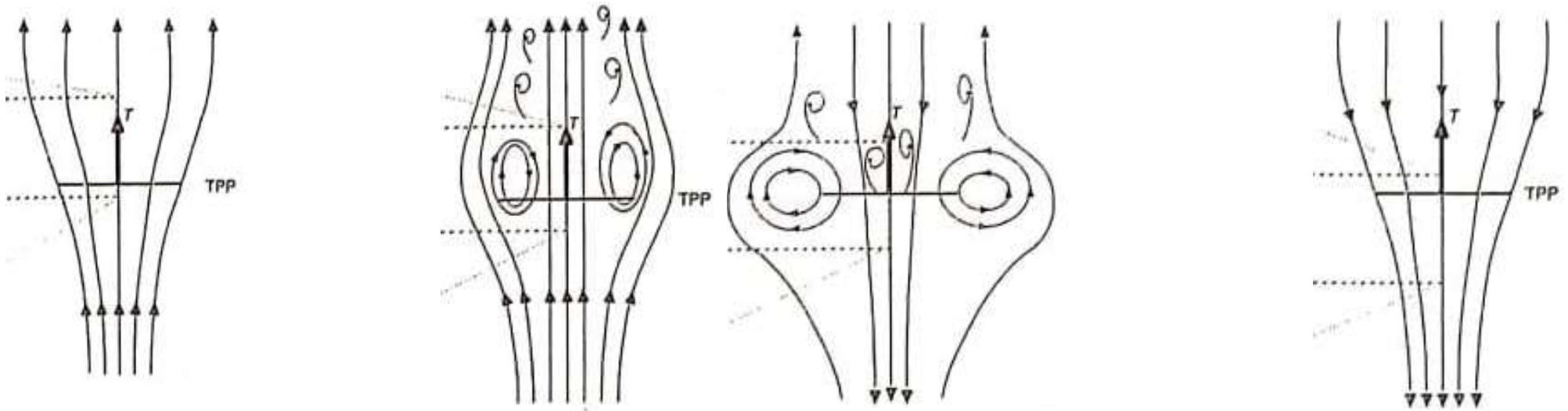
Teoria do momento para descida



Introdução
Hélices
Conclusão

Hélices

Teoria do momento para descida



$$\frac{v_{in}}{v_h} = -\frac{V_C}{2v_h} - \sqrt{\left(\frac{V_C}{2v_h}\right)^2 - 1}$$

Experimental, apenas!

$$\frac{v_{in}}{v_h} = -\frac{V_C}{2v_h} + \sqrt{\left(\frac{V_C}{2v_h}\right)^2 + 1}$$

$$\frac{v_{in}}{v_h} = k + k_1 \left(\frac{V_C}{v_h}\right) + k_2 \left(\frac{V_C}{v_h}\right)^2 + k_3 \left(\frac{V_C}{v_h}\right)^3 + k_4 \left(\frac{V_C}{v_h}\right)^4$$

k : Fator de Potência Induzida =, $k_1 = -1.125$,
 $k_2 = -1.372$, $k_3 = -1.718$, $k_4 = -0.655$

Hélices

Exemplo

$$v_h = 4.687 \text{ m/s}$$

$$V_c = 2 \text{ m/s}$$

$$v_{in} = -0.5V_c + \sqrt{(0.5V_c)^2 + v_h^2} \Rightarrow v_{in} = -1 + \sqrt{1 + 21.97} = 3.79 \text{ m/s}$$

$$V_c = -2 \text{ m/s}$$

$$\frac{v_{in}}{v_h} = 1.15 - 1.125 \left(\frac{V_c}{v_h}\right) - 1.372 \left(\frac{V_c}{v_h}\right)^2 - 1.718 \left(\frac{V_c}{v_h}\right)^3 - 0.655 \left(\frac{V_c}{v_h}\right)^4$$

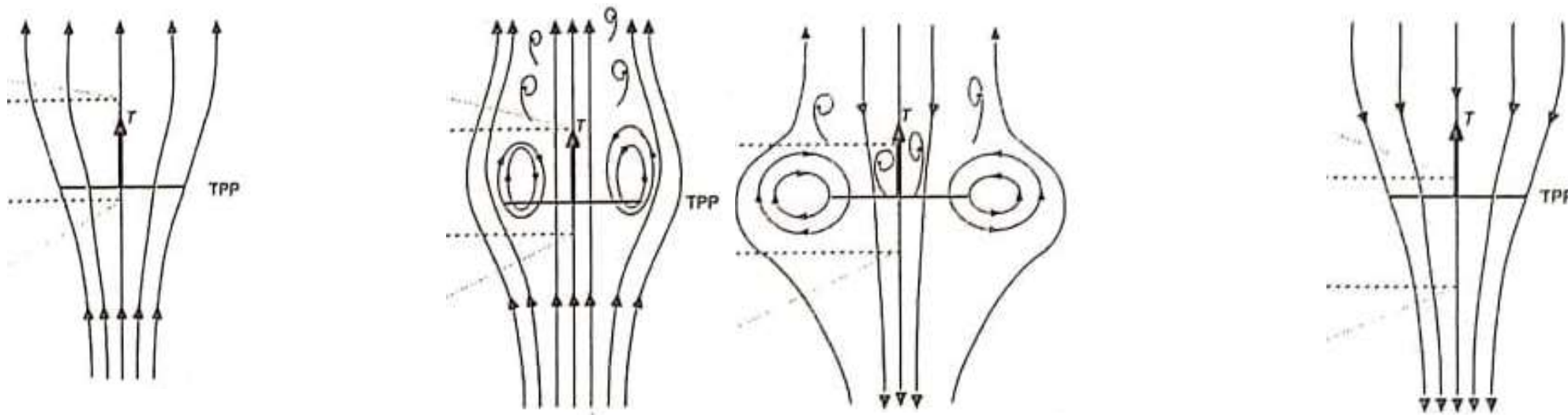
$$V_c = -10 \text{ m/s}$$

$$v_{in} = -0.5V_c - \sqrt{(0.5V_c)^2 - v_h^2} \Rightarrow v_{in} = -5 + \sqrt{25 - 21.97} = -3.26 \text{ m/s}$$

$$\frac{v_{in}}{v_h} = 1.492 \Rightarrow v_{in} \approx 7 \text{ m/s}$$

Hélices

Potência



$$\frac{P}{P_h} = \frac{V_C}{2v_h} - \sqrt{\left(\frac{V_C}{2v_h}\right)^2 - 1}$$

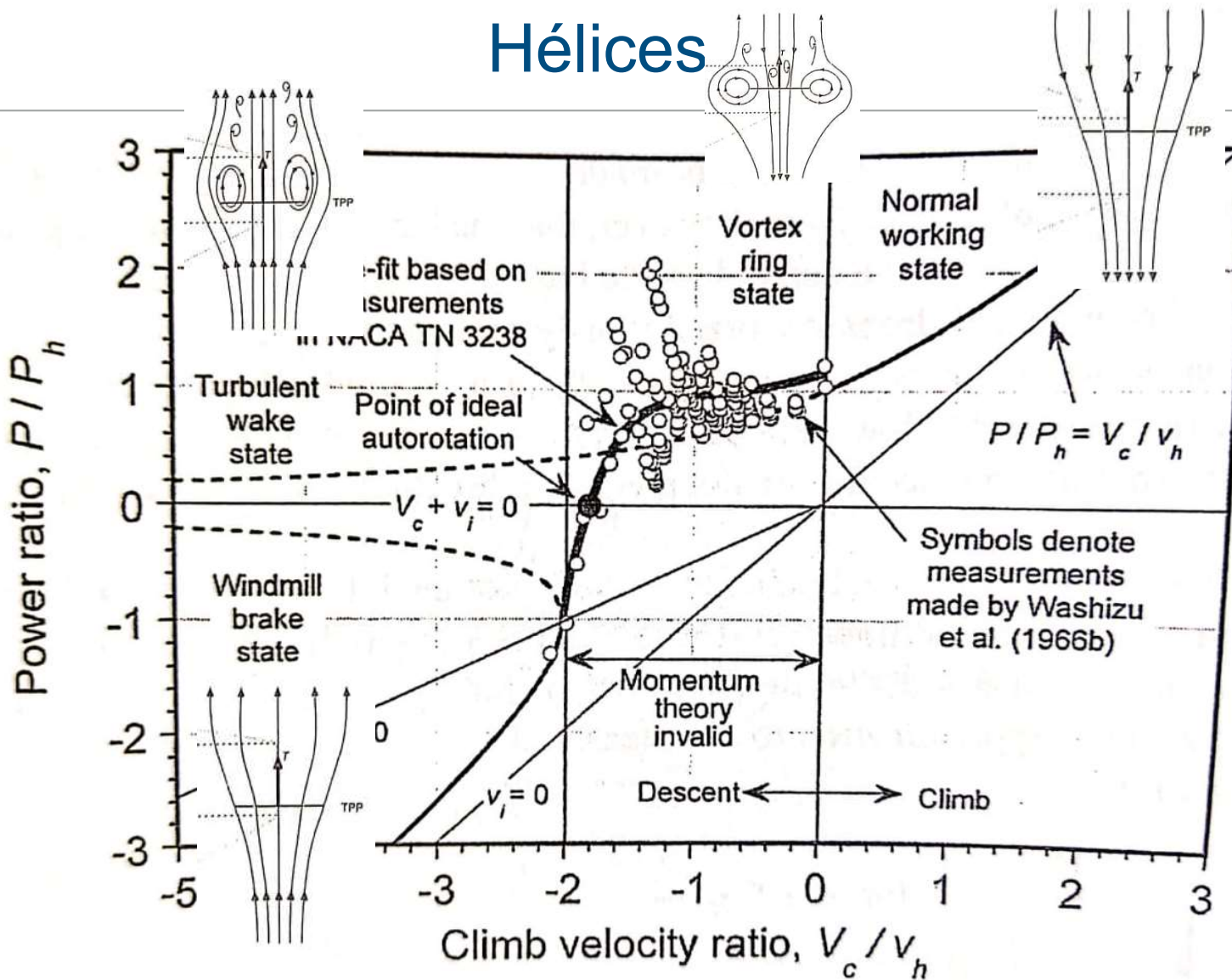
$$P_{medido} = T(V_C + \bar{v}_i) + P_0$$

$$\frac{P}{P_h} = \frac{V_C}{2v_h} + \sqrt{\left(\frac{V_C}{2v_h}\right)^2 + 1}$$

$$\frac{P_{medido} - P_0}{P_h} = k + (k_1 + 1) \left(\frac{V_C}{v_h}\right) + k_2 \left(\frac{V_C}{v_h}\right)^2 + k_3 \left(\frac{V_C}{v_h}\right)^3 + k_4 \left(\frac{V_C}{v_h}\right)^4$$

Potência

Hélices



Hélices

Exemplo

$$v_h = 4.687 \text{ m/s}$$

$$P_h \approx 9 \text{ W/motor}$$

$$V_c = 2 \text{ m/s}$$

$$\frac{P}{P_h} = \frac{2}{9.374} + \sqrt{\left(\frac{2}{9.374}\right)^2 + 1} \Rightarrow P = P_h * 1.236 \Rightarrow P \approx 11.1 \text{ W}$$

$$V_c = -10 \text{ m/s}$$

$$\frac{P}{P_h} = \frac{-10}{9.374} - \sqrt{\left(\frac{-10}{9.374}\right)^2 - 1} \Rightarrow P = P_h * (-1.438) \Rightarrow P \approx -12.9 \text{ W}$$

$$V_c = -2 \text{ m/s}$$

$$\frac{P_{medido} - P_0}{P_h} = 1.15 - 0.125 \left(\frac{-2}{4.687}\right) - 1.372 \left(\frac{-2}{4.687}\right)^2 - 1.718 \left(\frac{-2}{4.687}\right)^3 - 0.655 \left(\frac{-2}{4.687}\right)^4$$

$$\frac{P_{medido} - P_0}{P_h} = 1.065 \Rightarrow P_{medido} = P_0 + 9.59 \text{ W}$$

Hélices

Teoria do momento para movimento frontal

$$\dot{m} = \rho U A_{disco}$$

$$U = \sqrt{(V_\infty \cos(\alpha))^2 + (V_\infty \sin(\alpha) + v_i)^2}$$

$$-F = T = \dot{m}(V_\infty \sin(\alpha) + w) - \dot{m}V_\infty \sin(\alpha) = \dot{m}_\infty w$$

$$T(V_\infty \sin(\alpha) + v_i) = 0.5\dot{m}(2V_\infty w \sin(\alpha) + w^2)$$

$$\dot{m}_\infty w(V_\infty \sin(\alpha) + v_i) = 0.5\dot{m}(2V_\infty w \sin(\alpha) + w^2)$$

$$2v_{in} = w$$

$$T = 2\dot{m}_\infty v_i \Rightarrow T = 2\rho A v_i \sqrt{V_\infty^2 + 2V_\infty \sin(\alpha) v_i + v_i^2}$$

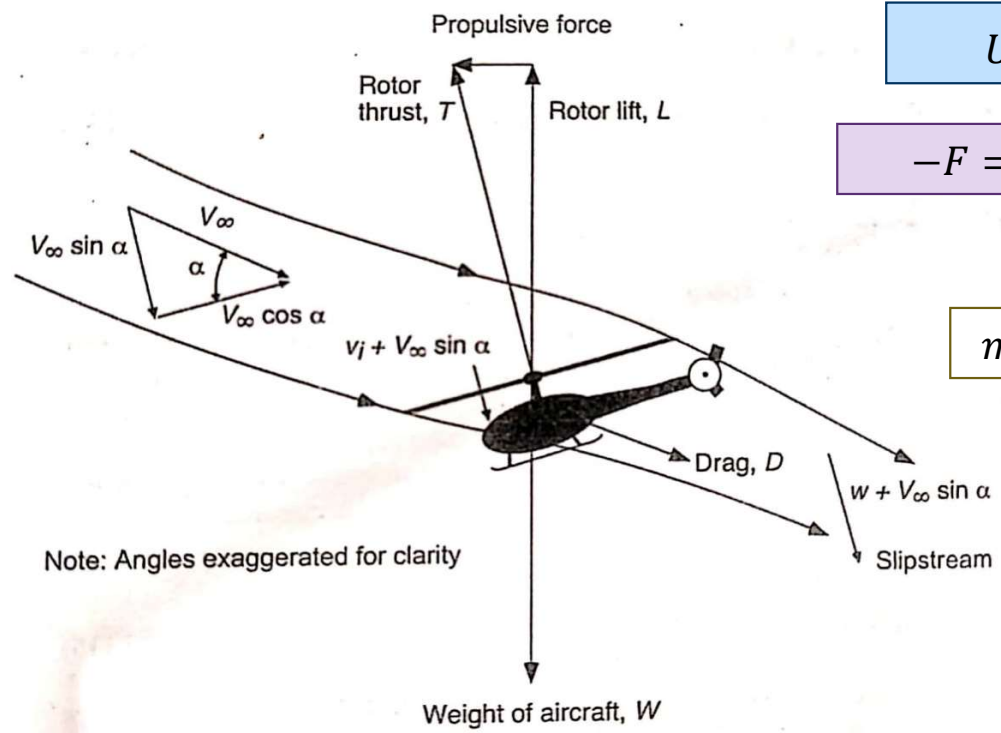


Figure 2.23 Glauert's flow model for the momentum analysis of a rotor in forward flight.

Hélices

Teoria do momento para movimento frontal

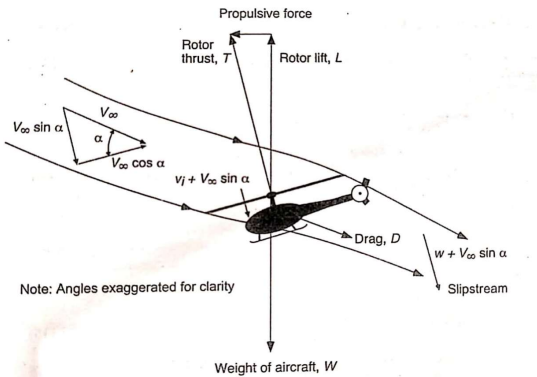


Figure 2.23 Glauert's flow model for the momentum analysis of a rotor in forward flight.

$$\frac{T}{2\rho A} = v_i \sqrt{(V_\infty \cos(\alpha))^2 + (V_\infty \sin(\alpha) + v_i)^2}$$

$$v_i = \frac{v_h^2}{\sqrt{(V_\infty \cos(\alpha))^2 + (V_\infty \sin(\alpha) + v_i)^2}}$$

$$\frac{v_i}{\Omega R} = \frac{\frac{v_h^2}{(\Omega R)^2}}{\frac{\Omega R}{(\Omega R)^2} \sqrt{(V_\infty \cos(\alpha))^2 + (V_\infty \sin(\alpha) + v_i)^2}}$$

$$T = 2\rho A v_i \sqrt{V_\infty^2 + 2V_\infty \sin(\alpha) v_i + v_i^2}$$

$$U = \sqrt{(V_\infty \cos(\alpha))^2 + (V_\infty \sin(\alpha) + v_i)^2}$$

$$v_{hover} = \sqrt{\frac{T}{2\rho A_{disco}}}$$

$$\mu = \frac{V_\infty \cos(\alpha)}{\Omega R}, \text{ taxa de avanço}$$

$$\lambda = \frac{V_\infty \sin(\alpha) + v_i}{\Omega R}, \text{ taxa de influxo}$$

$$\lambda_i = \frac{\lambda_h^2}{\sqrt{\mu^2 + \lambda^2}}$$

Hélices

Teoria do momento para movimento frontal

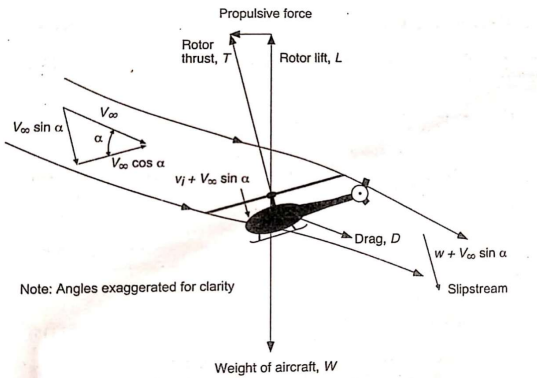


Figure 2.23 Glauert's flow model for the momentum analysis of a rotor in forward flight.

$$\frac{T}{2\rho A} = v_i \sqrt{(V_\infty \cos(\alpha))^2 + (V_\infty \sin(\alpha) + v_i)^2}$$

$$v_i = \frac{v_h^2}{\sqrt{(V_\infty \cos(\alpha))^2 + (V_\infty \sin(\alpha) + v_i)^2}}$$

$$\frac{v_i}{\Omega R} = \frac{\frac{v_h^2}{(\Omega R)^2}}{\frac{\Omega R}{(\Omega R)^2} \sqrt{(V_\infty \cos(\alpha))^2 + (V_\infty \sin(\alpha) + v_i)^2}}$$

$$T = 2\rho A v_i \sqrt{V_\infty^2 + 2V_\infty \sin(\alpha) v_i + v_i^2}$$

$$U = \sqrt{(V_\infty \cos(\alpha))^2 + (V_\infty \sin(\alpha) + v_i)^2}$$

$$v_{hover} = \sqrt{\frac{T}{2\rho A_{disco}}}$$

$$\mu = \frac{V_\infty \cos(\alpha)}{\Omega R}, \text{ taxa de avanço}$$

$$\lambda = \frac{V_\infty \sin(\alpha) + v_i}{\Omega R}, \text{ taxa de influxo}$$

$$\lambda_i = \frac{\lambda_h^2}{\sqrt{\mu^2 + \lambda^2}}$$

Hélices

Teoria do momento para movimento frontal

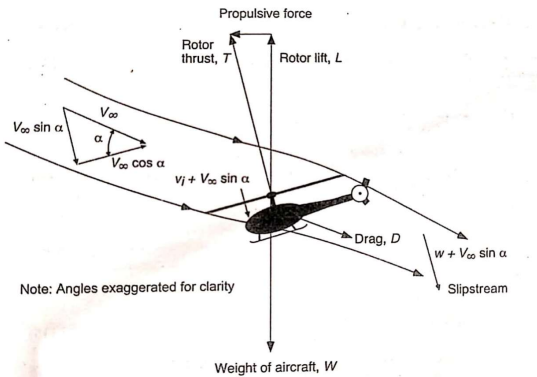


Figure 2.23 Glauert's flow model for the momentum analysis of a rotor in forward flight.

Hipóteses para análise:

- Coeficiente de influxo uniforme
- Sem perdas por viscosidade
- Hélice em paio (Hover)

$$\lambda_h = \frac{\sqrt{C_T}}{2}$$

$$\lambda_i = \frac{\lambda_h^2}{\sqrt{\mu^2 + \lambda^2}}$$

$$\lambda_i = \frac{C_T}{4\sqrt{\mu^2 + \lambda^2}}$$

$$\lambda = \mu \tan(\alpha) + \lambda_i$$

$$\lambda = \mu \tan(\alpha) + \frac{C_T}{4\sqrt{\mu^2 + \lambda^2}}$$

$$T = 2\rho A v_i \sqrt{V_\infty^2 + 2V_\infty \sin(\alpha) v_i + v_i^2}$$

$$\mu = \frac{V_\infty \cos(\alpha)}{\Omega R}, \text{ taxa de avanço}$$

$$\lambda = \frac{V_\infty \sin(\alpha) + v_i}{\Omega R}, \text{ taxa de influxo}$$

Introdução

Hélices

Conclusão

Hélices

Teoria do momento para movimento frontal

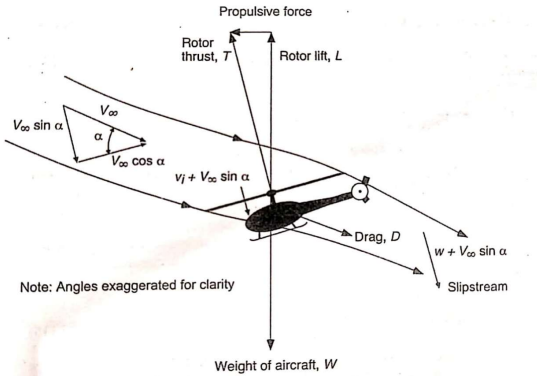
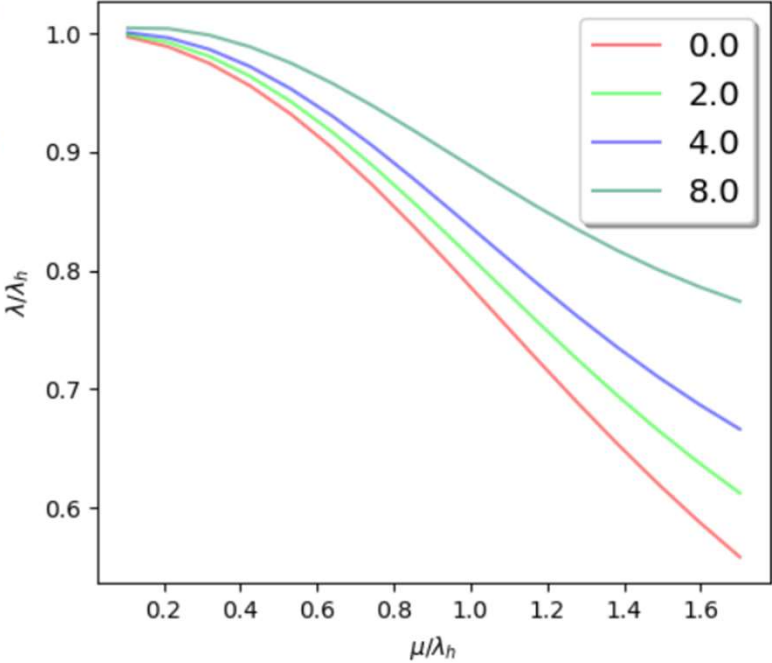


Figure 2.23 Glauert's flow model for the momentum analysis of a rotor in forward flight.

$$\lambda = \mu \tan(\alpha) + \frac{C_T}{4\sqrt{\mu^2 + \lambda^2}}$$

$$\lambda_h = \frac{\sqrt{C_T}}{2}$$

```
while error > 0.001:
    f_n = inflow - mu*np.tan(alpha) * (1 + inflow * lambda)
    df_n = 1 + inflow * lambda
    old_lambda = inflow
    inflow = inflow - (f_n/df_n)
    error = np.abs(1 - old_lambda)
```



$$T = 2\rho A v_i \sqrt{V_\infty^2 + 2V_\infty \sin(\alpha) v_i + v_i^2}$$

$$\mu = \frac{V_\infty \cos(\alpha)}{\Omega R}, \text{ taxa de avanço}$$

$$\lambda = \frac{V_\infty \sin(\alpha) + v_i}{\Omega R}, \text{ taxa de influxo}$$

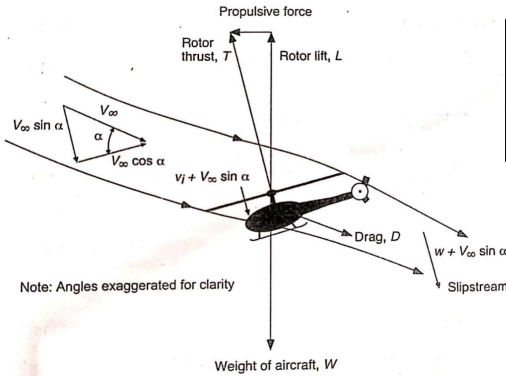
Introdução

Hélices

Conclusão

Hélices

Teoria do momento para movimento frontal



$$\lambda_h = \frac{\sqrt{C_T}}{2}$$

$$P = T(V_\infty \sin(\alpha) + v_i)$$

$$\frac{P}{P_h} = \frac{T(V_\infty \sin(\alpha) + v_i)}{T v_h} = \frac{\lambda}{\lambda_h}$$

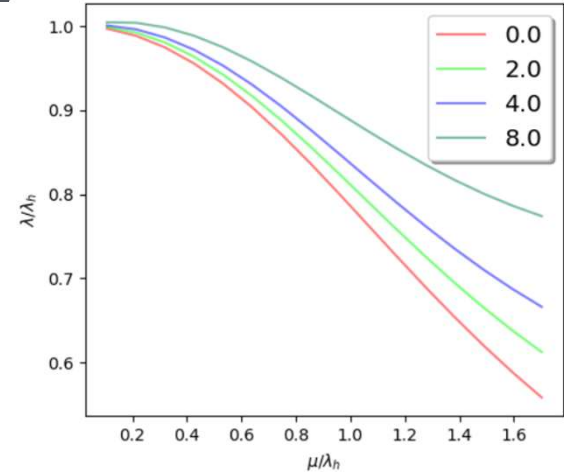


Figure 2.23 Glauert's flow model for the momentum analysis of a rotor in forward flight.

$$T = 2\rho A v_i \sqrt{V_\infty^2 + 2V_\infty \sin(\alpha) v_i + v_i^2}$$

$$\mu = \frac{V_\infty \cos(\alpha)}{\Omega R}, \text{ taxa de avanço}$$

$$\lambda = \frac{V_\infty \sin(\alpha) + v_i}{\Omega R}, \text{ taxa de influxo}$$

$$\lambda = \mu \tan(\alpha) + \frac{C_T}{4\sqrt{\mu^2 + \lambda^2}}$$

Caso geral:

$$\tan \alpha \approx \frac{D}{T}$$

$$\frac{P}{P_h} = \lambda_c \cos(\alpha) + \frac{\mu}{\lambda_h} \tan(\alpha) + \frac{\lambda_h}{\sqrt{\mu^2 + \lambda^2}}$$

Introdução

Hélices

Conclusão

Hélices

Exemplo

$$P_h \approx 9W/\text{motor}$$

$$V_c = 0.5 \text{ m/s}$$

$$V_x = 5 \text{ m/s}$$

$$\alpha = 6^\circ$$

$$\Omega R \approx 34.56$$

Caso geral:

$$\frac{P}{P_h} = \lambda_c \cos(\alpha) + \frac{\mu}{\lambda_h} \tan(\alpha) + \frac{\lambda_h}{\sqrt{\mu^2 + \lambda^2}}$$

$$\frac{P}{P_h} = \frac{0.5}{34.56} 0.9945 + \frac{5}{4.67} 0.1051 + \frac{v_h}{\sqrt{V_x^2 + (\Omega R \lambda)^2}}$$

$$\frac{P}{P_h} = 0.014388 + 0.112527 + \frac{4.67}{\sqrt{25 + (34.56 * 0.1174)^2}}$$

$$P = 0.852172 P_h \Rightarrow P = 7.67W$$

$$\lambda = \mu \tan(\alpha) + \frac{C_T}{4\sqrt{\mu^2 + \lambda^2}}$$

Hélices

Teoria do elemento de pá:

Hipóteses:

- 1) Cada seção é um aerofólio 2D
- 2) A velocidade $U_p \ll U_T$, ou seja a velocidade induzida é muito menor que Ωr , válido exceto perto da raiz, mas as forças aerodinâmicas são pequenas.
- 3) O ângulo induzido ϕ é pequeno
- 4) O arrasto é, pelo menos, uma ordem de magnitude menor que o empuxo.

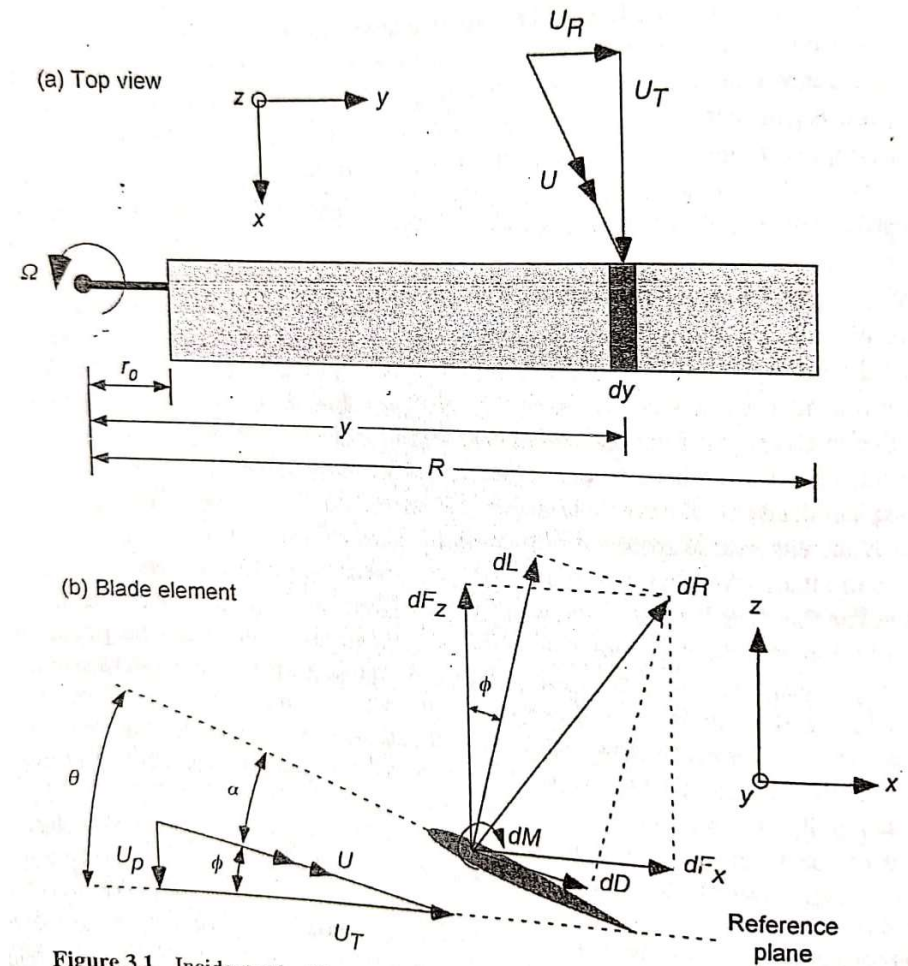


Figure 3.1 Incident velocity

Hélices

Teoria do elemento de pá: Hipóteses:

- 1) Cada seção é um aerofólio 2D
- 2) A velocidade $U_p \ll U_T$, ou seja a velocidade induzida é muito menor que Ωr , válido exceto perto da raiz, mas as forças aerodinâmicas são pequenas.
- 3) O ângulo induzido ϕ é pequeno
- 4) O arrasto é, pelo menos, uma ordem de magnitude menor que o empuxo.

Por (1)

$$U_R \approx 0$$

$$U_p = V_c + v_i$$

$$U_T = \Omega y$$

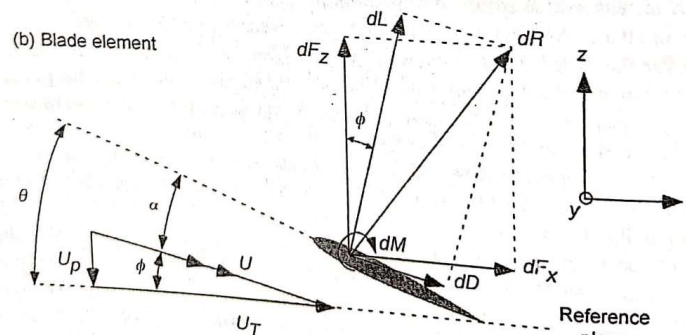
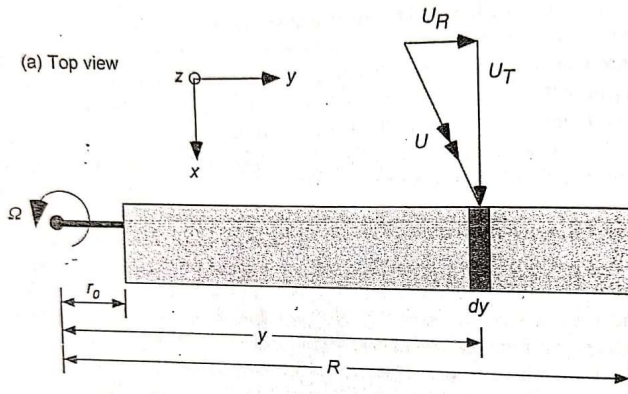
$$U = \sqrt{U_T^2 + U_p^2}$$

Por (3)

$$\phi = \tan^{-1} \left(\frac{U_p}{U_T} \right) \longrightarrow \phi \approx \frac{U_p}{U_T}$$

Se o ângulo de inclinação for θ , o ângulo de ataque α será:

$$\alpha = \theta - \phi \approx \theta - \frac{U_p}{U_T}$$



Hélices

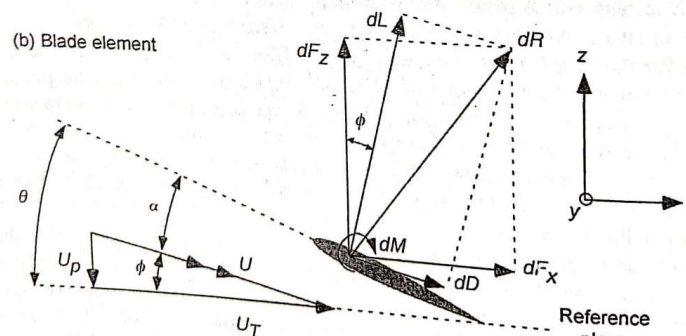
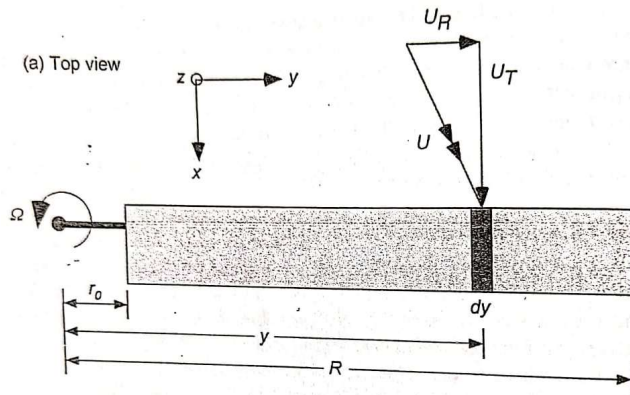
Teoria do elemento de pá:

Hipóteses:

$$U = \sqrt{U_T^2 + U_P^2}$$

- 1) Cada seção é um aerofólio 2D
- 2) A velocidade $U_P \ll U_T$, ou seja a velocidade induzida é muito menor que Ωr , válido exceto perto da raiz, mas as forças aerodinâmicas são pequenas.
- 3) O ângulo induzido ϕ é pequeno
- 4) O arrasto é, pelo menos, uma ordem de magnitude menor que o empuxo.

$$\alpha = \theta - \phi$$



$$dL = \frac{1}{2} \rho U^2 c C_l dy$$

$$dD = \frac{1}{2} \rho U^2 c C_d dy$$

Onde:

c , corda da hélice

C_l , Coeficiente de empuxo

C_d , Coeficiente de arrasto

Fazendo as projeções:

$$dF_z = dL \cos(\phi) - dD \sin(\phi)$$

$$dF_x = dL \sin(\phi) + dD \cos(\phi)$$

Hélices

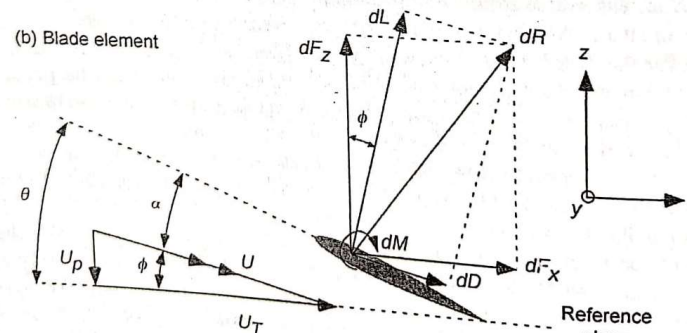
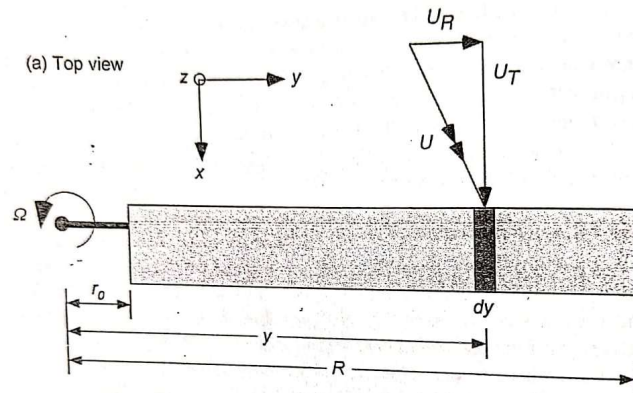
Teoria do elemento de pá:

Hipóteses:

$$U = \sqrt{U_T^2 + U_P^2}$$

- 1) Cada seção é um aerofólio 2D
- 2) A velocidade $U_P \ll U_T$, ou seja a velocidade induzida é muito menor que Ωr , válido exceto perto da raiz, mas as forças aerodinâmicas são pequenas.
- 3) O ângulo induzido ϕ é pequeno
- 4) O arrasto é, pelo menos, uma ordem de magnitude menor que o empuxo.

$$\alpha = \theta - \phi$$



$$dL = \frac{1}{2} \rho U^2 c C_l dy \quad dD = \frac{1}{2} \rho U^2 c C_d dy$$

$$dF_z = dL \cos(\phi) - dD \sin(\phi)$$

$$dF_x = dL \sin(\phi) + dD \cos(\phi)$$

Como há N_b , número de pás e como em hover e em movimento axial a carga é simétrica, o empuxo independe da posição da hélice, portanto:

$$dT = N_b (dL \cos(\phi) - dD \sin(\phi))$$

$$dQ = N_b (dL \sin(\phi) + dD \cos(\phi)) y$$

$$dP = N_b (dL \sin(\phi) + dD \cos(\phi)) \Omega y$$

Aplicando (3) e (4):

$$dT = N_b dL$$

$$dQ = N_b (\phi dL + dD) y$$

$$dP = N_b \Omega (\phi dL + dD) y$$

Hélices

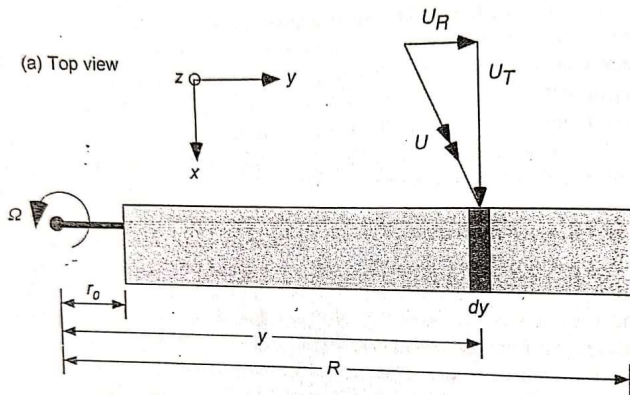
Teoria do elemento de pá:

Hipóteses:

$$U = \sqrt{U_T^2 + U_P^2}$$

- 1) Cada seção é um aerofólio 2D
- 2) A velocidade $U_P \ll U_T$, ou seja a velocidade induzida é muito menor que Ωr , válido exceto perto da raiz, mas as forças aerodinâmicas são pequenas.
- 3) O ângulo induzido ϕ é pequeno
- 4) O arrasto é, pelo menos, uma ordem de magnitude menor que o empuxo.

$$\alpha = \theta - \phi$$



$$dL = \frac{1}{2} \rho U^2 c C_l dy$$

$$dD = \frac{1}{2} \rho U^2 c C_d dy$$

$$dT = N_b dL$$

$$dQ = N_b (\phi dL + dD) y$$

$$dP = N_b \Omega (\phi dL + dD) y$$

Considere os adimensionais:

$$r = y/R \quad \frac{U}{\Omega R} = \frac{\Omega y}{\Omega R} = r$$

$$\lambda = \frac{V_c + v_i}{\Omega R} = \frac{V_c + v_i}{\Omega y} \left(\frac{\Omega y}{\Omega R} \right)$$

$$\lambda = \frac{V_c + v_i}{\Omega y} \left(\frac{\Omega y}{\Omega R} \right) = \frac{U_P}{U_T} \left(\frac{\Omega y}{\Omega R} \right) = \phi r$$

$$dC_T = \frac{dT}{\frac{1}{2} \rho A (\Omega R)^2}$$

$$dC_Q = \frac{dQ}{\frac{1}{2} \rho A R (\Omega R)^2}$$

$$dC_P = \frac{dP}{\frac{1}{2} \rho A (\Omega R)^3}$$

Assim:

$$dC_T = \frac{N_b dL}{\frac{1}{2} \rho A (\Omega R)^2} = \frac{N_b \frac{1}{2} \rho U^2 c C_l dy}{\frac{1}{2} \rho (\pi R^2) (\Omega R)^2} \Rightarrow \left(\frac{N_b c}{\pi R} \right) C_l r^2 dr$$

Hélices

Teoria do elemento de pá:

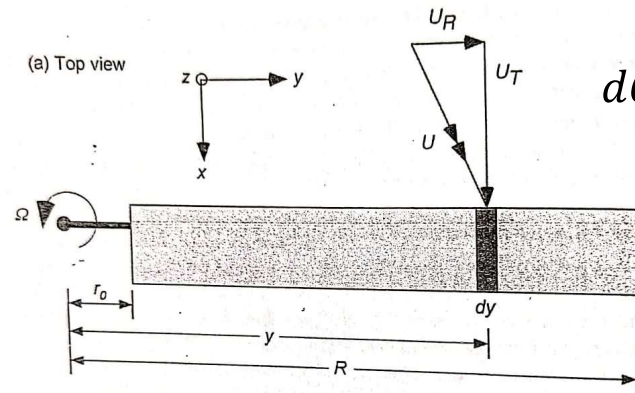
Hipóteses:

$$U = \sqrt{U_T^2 + U_P^2}$$

- 1) Cada seção é um aerofólio 2D
- 2) A velocidade $U_P \ll U_T$, ou seja a velocidade induzida é muito menor que Ωr , válido exceto perto da raiz, mas as forças aerodinâmicas são pequenas.
- 3) O ângulo induzido ϕ é pequeno
- 4) O arrasto é, pelo menos, uma ordem de magnitude menor que o empuxo.

$$\alpha = \theta - \phi$$

$$\lambda = \phi r$$



$$dC_Q = \frac{dQ}{\frac{1}{2} \rho A R (\Omega R)^2}$$

$$dC_P = \frac{dP}{\frac{1}{2} \rho A (\Omega R)^3}$$

$$r = y/R$$

$$dL = \frac{1}{2} \rho U^2 c C_l dy \quad dQ = N_b (\phi dL + dD) y$$

$$dD = \frac{1}{2} \rho U^2 c C_d dy \quad dP = N_b \Omega (\phi dL + dD) y$$

$$dC_T = \left(\frac{N_b c}{\pi R} \right) C_l r^2 dr$$

Lembrando que:

$$\sigma = \frac{N_b c}{\pi R}, \text{ Solidez da hélice}$$

$$dC_T = \sigma C_l r^2 dr$$

Analogamente:

$$dC_p \equiv dC_Q = \sigma (\phi C_l + C_d) r^3 dr$$

Hélices

Teoria do elemento de pá:

$$U = \sqrt{U_T^2 + U_P^2} \approx \Omega y$$

$$\alpha = \theta - \phi$$

$$\lambda = \phi r \quad r = y/R$$

$$dC_T = \sigma C_l r^2 dr$$

$$dC_p \equiv dC_Q = \sigma(\phi C_l + C_d) r^3 dr$$

Integrando:

$$C_T = \int_0^1 \sigma C_l r^2 dr$$

$$dC_p \equiv dC_Q = \int_0^1 \sigma(\phi C_l + C_d) r^3 dr$$

$$C_p \equiv C_Q = \int_0^1 \sigma \lambda C_l r^2 dr + \int_0^1 \sigma C_d r^3 dr$$

Avaliar C_p , C_Q precisa do influxo, além dos coeficientes aerodinâmicos C_l , C_d . Como dependem de Reynolds, Mach e do ângulo de ataque, normalmente se resolve via integração numérica. Mas há alguns resultados que são analíticos e servem para testar a implementação numérica

Hélices

https://www.grc.nasa.gov/www/k-12/WindTunnel/Activities/lift_formula.html

Teoria do elemento de pá:

$$U \approx \Omega y$$

$$C_T = \int_0^1 \sigma C_l r^2 dr$$

$$\lambda = \phi r$$

$$\alpha = \theta - \phi$$

$$r = y/R$$

$$C_p \equiv C_Q = \int_0^1 \sigma \lambda C_l r^2 dr + \int_0^1 \sigma C_d r^3 dr$$

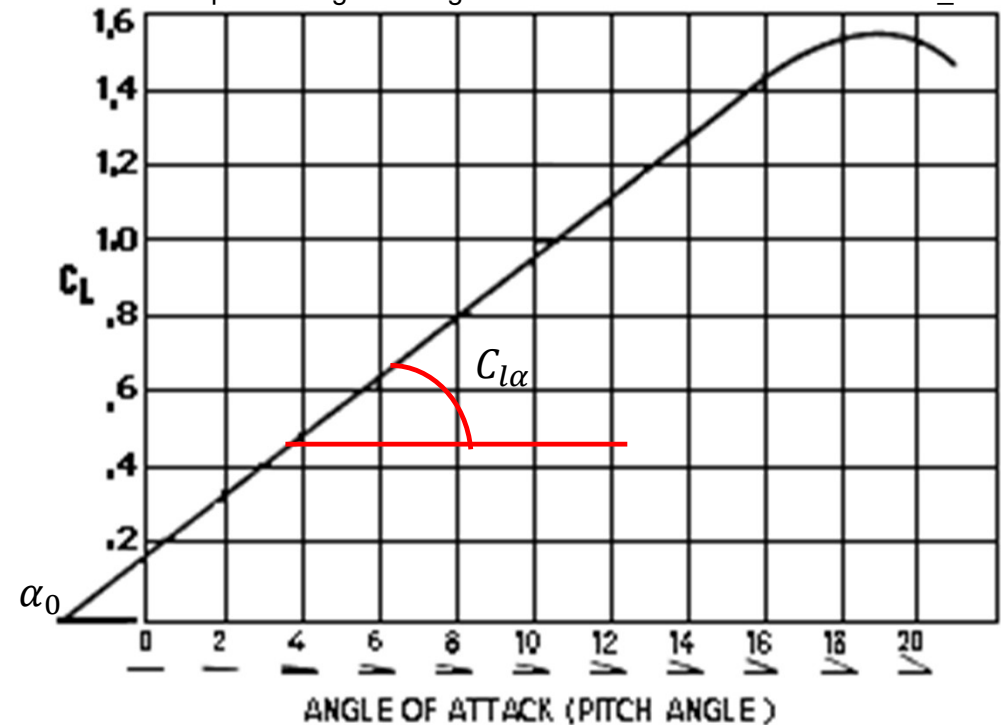
Façamos a análise para uma hélice retangular e linearizando a aerodinâmica no regime permanente, tal que:

$$C_l = C_{l\alpha}(\alpha - \alpha_0) = C_{l\alpha}(\theta - \phi - \alpha_0)$$

Onde $C_{l\alpha}$ é assumido constante por toda a hélice, e assumindo que $\theta' = \theta - \alpha_0$

$$C_T = \sigma \int_0^1 C_{l\alpha}(\theta' - \phi)r^2 dr \Rightarrow \sigma C_{l\alpha} \int_0^1 \left(\theta' - \frac{\lambda}{r} \right) r^2 dr$$

$$C_T = \sigma C_{l\alpha} \int_0^1 (\theta' r^2 - \lambda r) dr$$



Hélices

Teoria do elemento de pá:

$$U \approx \Omega y$$

$$\alpha = \theta - \phi$$

$$C_T = \int_0^1 \sigma C_l r^2 dr$$

$$\lambda = \phi r$$

$$r = y/R$$

$$C_p \equiv C_Q = \int_0^1 \sigma \lambda C_l r^2 dr + \int_0^1 \sigma C_d r^3 dr$$

$$C_l = C_{l\alpha}(\alpha - \alpha_0) = C_{l\alpha}(\theta - \phi - \alpha_0)$$

Onde $C_{l\alpha}$ é assumido constante por toda a hélice, e assumindo que $\theta' = \theta - \alpha_0$

$$C_T = \sigma \int_0^1 C_{l\alpha}(\theta' - \phi)r^2 dr \Rightarrow \sigma C_{l\alpha} \int_0^1 \left(\theta' - \frac{\lambda}{r}\right) r^2 dr$$

$$C_T = \sigma C_{l\alpha} \int_0^1 (\theta' r^2 - \lambda r) dr$$

Considere, como feito na teoria de momento, que o influxo é constante. Além disso, que a hélice não é torcida $\theta' = \theta_0$, temos:

$$C_T = \sigma C_{l\alpha} \left(\int_0^1 (\theta_0' r^2) dr - \int_0^1 (\lambda r) dr \right)$$

$$C_T = \sigma C_{l\alpha} \left[\frac{\theta_0}{3} - \frac{\lambda}{2} \right]$$

Pelo momento em hover, temos: $\lambda = \sqrt{C_T}/2$

$$C_T = \sigma C_{l\alpha} \left[\frac{\theta_0}{3} - \frac{\sqrt{C_T}}{4} \right]$$

$$\theta_0 = \frac{3C_T}{\sigma C_{l\alpha}} + \frac{3\sqrt{C_T}}{4}$$

Hélices

Exercício:

Se a hélice do FIMI x8 SE fosse retangular, qual deveria ser o ângulo de inclinação?

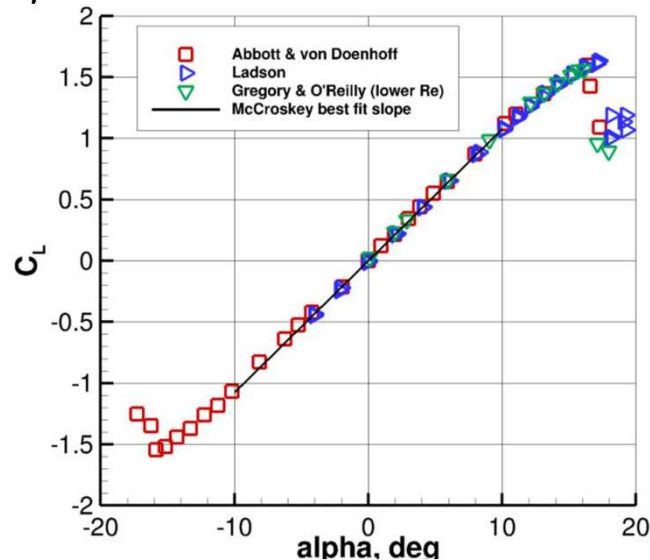
Corda média = 2.5 cm

$\Omega = 3000 \text{ rpm}$

$R = 11 \text{ cm}$

https://turbmodels.larc.nasa.gov/naca0012_val.html

Supondo perfil NACA 0012



$$v_h = 4.687 \text{ m/s}$$

$$\theta_0 = \frac{3C_T}{\sigma C_{l\alpha}} + \frac{3\sqrt{C_T}}{4}$$

$$C_T = \frac{4v_h^2}{(\Omega R)^2} = \frac{4(4.687)^2}{(34.5575)^2} = 0.07358$$

$$\theta_0 = \frac{3 * 0.07358}{\left(2 * \frac{0.025}{\pi * 0.11}\right) C_{l\alpha}} + \frac{3\sqrt{0.07358}}{4}$$

$$\theta_0 = \frac{1.5256}{C_{l\alpha}} + 0.20344$$

$$\theta_0 = \frac{1.5256}{5.7296} + 0.20344 \Rightarrow \theta_0 = 0.4697 \approx 27^\circ$$

Hélices

Teoria do elemento de pá:

$$U \approx \Omega y$$

$$\alpha = \theta - \phi$$

$$C_T = \int_0^1 \sigma C_l r^2 dr$$

$$\lambda = \phi r$$

$$r = y/R$$

$$C_p \equiv C_Q = \int_0^1 \sigma \lambda C_l r^2 dr + \int_0^1 \sigma C_d r^3 dr$$

Façamos a análise, agora para o momento-potência

$$C_p \equiv C_Q = \int_0^1 \sigma \lambda C_l r^2 dr + \int_0^1 \sigma C_d r^3 dr$$

Observando que: $dC_T = \sigma C_l r^2 dr$

$$C_p \equiv C_Q = \int_0^1 \lambda dC_T + \int_0^1 \sigma C_d r^3 dr$$

$$C_p \equiv C_Q = \lambda C_T + \frac{\sigma C_{d0}}{4}$$

Pelo momento em hover, temos: $\lambda = \sqrt{C_T}/2$

$$C_p \equiv C_Q = \frac{C_T^{3/2}}{2} + \frac{\sigma C_{d0}}{4}$$

Hélices

Teoria do elemento de pá com momento:

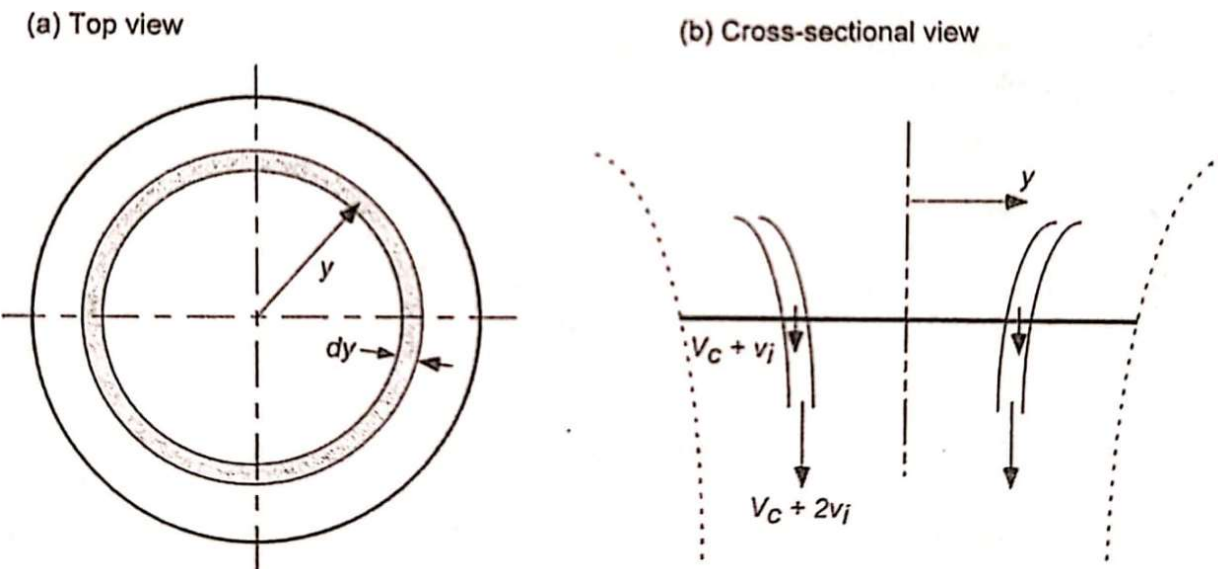


Figure 3.4 Annulus of rotor disk as used for a local momentum analysis of the hovering rotor. (a) Top view. (b) Cross-sectional view.

$$dm = \rho dA(V_c + v_i) = 2\pi\rho(V_c + v_i)ydy$$

$$dT = 2\rho dAv_i(V_c + v_i) = 4\pi\rho(V_c + v_i)v_iydy$$

Ou, de forma adimensional:

$$dC_T = \frac{dT}{\frac{1}{2}\rho A(\Omega R)^2}$$

$$dC_T = \frac{4\pi\rho(V_c + v_i)v_iydy}{\frac{1}{2}\rho A(\Omega R)^2} \Rightarrow dC_T = \frac{8(V_c + v_i)v_iydy}{\Omega^2 R^4} = 8 \frac{V_c + v_i}{\Omega R} \frac{v_i}{\Omega R} \left(\frac{y}{R}\right) d\left(\frac{y}{R}\right) = 8\lambda\lambda_i r dr$$

Hélices

Teoria do elemento de pá com momento:

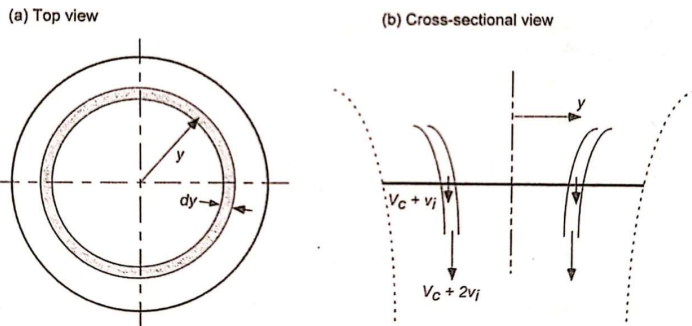


Figure 3.4 Annulus of rotor disk as used for a local momentum analysis of the hovering rotor. (a) Top view. (b) Cross-sectional view.

$$dC_T = 8\lambda\lambda_i r dr$$

$$dC_T = 8\lambda(\lambda - \lambda_c) r dr$$

Fazendo para a potência induzida:

$$dC_P = \frac{dP}{\frac{1}{2}\rho A(\Omega R)^3} \Rightarrow dC_P = \lambda dC_T = 8\lambda^2(\lambda - \lambda_c) r dr$$

Integrando, para o hover:

$$C_T = 8 \int_0^1 \lambda^2 r dr$$

$$C_P = 8 \int_0^1 \lambda^3 r dr$$

Hélices

Teoria do elemento de pá com momento:

$$C_T = 8 \int_0^1 \lambda^2 r dr$$

$$C_P = 8 \int_0^1 \lambda^3 r dr$$

Assumindo Distribuição radial do influxo:

$$\lambda(r) = \lambda_{TIP} r^n, \text{ para } n \geq 0$$

Substituindo:

$$C_T = 8 \int_0^1 \lambda^2 r dr$$

$$C_T = 8 \int_0^1 (\lambda_{TIP} r^n)^2 r dr$$

$$C_T = 8 \lambda_{TIP}^2 \int_0^1 r^{2n+1} dr$$

$$C_T = \frac{4 \lambda_{TIP}^2}{n + 1}$$

$$C_P = 8 \int_0^1 \lambda^3 r dr$$

$$C_P = 8 \int_0^1 (\lambda_{TIP} r^n)^3 r dr$$

$$C_P = 8 \lambda_{TIP}^3 \int_0^1 r^{3n+1} dr$$

$$C_P = \frac{8 \lambda_{TIP}^3}{3n + 2}$$

Hélices

Teoria do elemento de pá com momento:

$$C_T = 8 \int_0^1 \lambda^2 r dr$$

$$C_P = 8 \int_0^1 \lambda^3 r dr$$

$$C_T = \frac{4\lambda_{TIP}^2}{n+1}$$

$$C_P = \frac{8\lambda_{TIP}^3}{3n+2}$$

Rearranjando C_T para substituir em C_P

$$\frac{(n+1)C_T}{4} = \lambda_{TIP}^2 \Rightarrow \lambda_{TIP} = \frac{\sqrt{n+1} \sqrt{C_T}}{2}$$

Substituindo:

$$C_P = \frac{8\lambda_{TIP}^3}{3n+2} = \frac{8(\sqrt{n+1} \sqrt{C_T})^3}{(3n+2)8} = \frac{kC_T^{3/2}}{2}$$

Onde:

$$k = \frac{2(\sqrt{n+1})^3}{(3n+2)}$$

n	k
0	1
1	1.13
2	1.3

Quando:
 $N = 0$, $k=1$, ou seja, o influxo constante gera a potencia ideal.
Quanto mais o influxo está na ponta (n alto), maior o fator de potência induzida

Hélices

Teoria do elemento de pá com momento:

$$C_T = 8 \int_0^1 \lambda^2 r dr$$

$$C_P = 8 \int_0^1 \lambda^3 r dr$$

$$C_T = \frac{4\lambda_{TIP}^2}{n+1}$$

$$C_P = \frac{8\lambda_{TIP}^3}{3n+2}$$

Rearranjando C_T para substituir em C_P

$$\frac{(n+1)C_T}{4} = \lambda_{TIP}^2 \Rightarrow \lambda_{TIP} = \frac{\sqrt{n+1} \sqrt{C_T}}{2}$$

Substituindo:

$$C_P = \frac{8\lambda_{TIP}^3}{3n+2} = \frac{8(\sqrt{n+1} \sqrt{C_T})^3}{(3n+2)8} = \frac{kC_T^{3/2}}{2}$$

Onde:

$$k = \frac{2(\sqrt{n+1})^3}{(3n+2)}$$

n	k
0	1
1	1.13
2	1.3

Quando:
 $N = 0$, $k=1$, ou seja, o influxo constante gera a potencia ideal.
Quanto mais o influxo está na ponta (n alto), maior o fator de potência induzida

Hélices

Teoria do elemento de pá com momento:

$$C_T = 8 \int_0^1 \lambda^2 r dr$$

$$C_P = 8 \int_0^1 \lambda^3 r dr$$

$$C_T = \frac{4\lambda_{TIP}^2}{n+1}$$

$$C_P = \frac{8\lambda_{TIP}^3}{3n+2}$$

$$k = \frac{2(\sqrt{n+1})^3}{(3n+2)}$$

$$C_P = \frac{kC_T^{3/2}}{2}$$

Lembrando que C_T pela teoria de pá:

$$dC_T = \sigma C_{l\alpha} (\theta' r^2 - \lambda r) dr$$

Igualando:

$$dC_T = 8\lambda(\lambda - \lambda_c) r dr = \sigma C_{l\alpha} (\theta' r^2 - \lambda r) dr$$

$$8\lambda(\lambda - \lambda_c) r = \sigma C_{l\alpha} (\theta' r^2 - \lambda r)$$

$$8\lambda^2 r - 8\lambda\lambda_c r = \sigma C_{l\alpha} \theta' r^2 - \sigma C_{l\alpha} \lambda r$$

$$\lambda^2 - \lambda\lambda_c = \frac{\sigma C_{l\alpha} \theta' r}{8} - \frac{\sigma C_{l\alpha} \lambda}{8}$$

$$\lambda^2 + \left(\frac{\sigma C_{l\alpha}}{8} - \lambda_c \right) \lambda - \frac{\sigma C_{l\alpha} \theta' r}{8} = 0$$

Hélices

Teoria do elemento de pá com momento:

$$C_T = 8 \int_0^1 \lambda^2 r dr$$

$$C_P = 8 \int_0^1 \lambda^3 r dr$$

$$C_T = \frac{4\lambda_{TIP}^2}{n+1}$$

$$C_P = \frac{8\lambda_{TIP}^3}{3n+2}$$

$$k = \frac{2(\sqrt{n+1})^3}{(3n+2)}$$

$$C_P = \frac{kC_T^{3/2}}{2}$$

$$\lambda^2 + \left(\frac{\sigma C_{l\alpha}}{8} - \lambda_c \right) \lambda - \frac{\sigma C_{l\alpha} \theta' r}{8} = 0$$

Resolvendo:

$$\lambda(r, \lambda_c) = \sqrt{\left(\frac{\sigma C_{l\alpha}}{16} - \frac{\lambda_c}{2} \right)^2 + \frac{\sigma C_{l\alpha} \theta' r}{8}} - \left(\frac{\sigma C_{l\alpha}}{16} - \frac{\lambda_c}{2} \right)$$

Em HOVER:

$$\lambda(r) \equiv \lambda_h(r) = \frac{\sigma C_{l\alpha}}{16} \left(\sqrt{1 + \frac{32\theta' r}{\sigma C_{l\alpha}}} - 1 \right)$$

Genérica. Para cada seção da hélice (com corda, Ângulo, aerofólio), calcula-se o influxo, com isso integra-se para achar C_t e C_p

Hélices

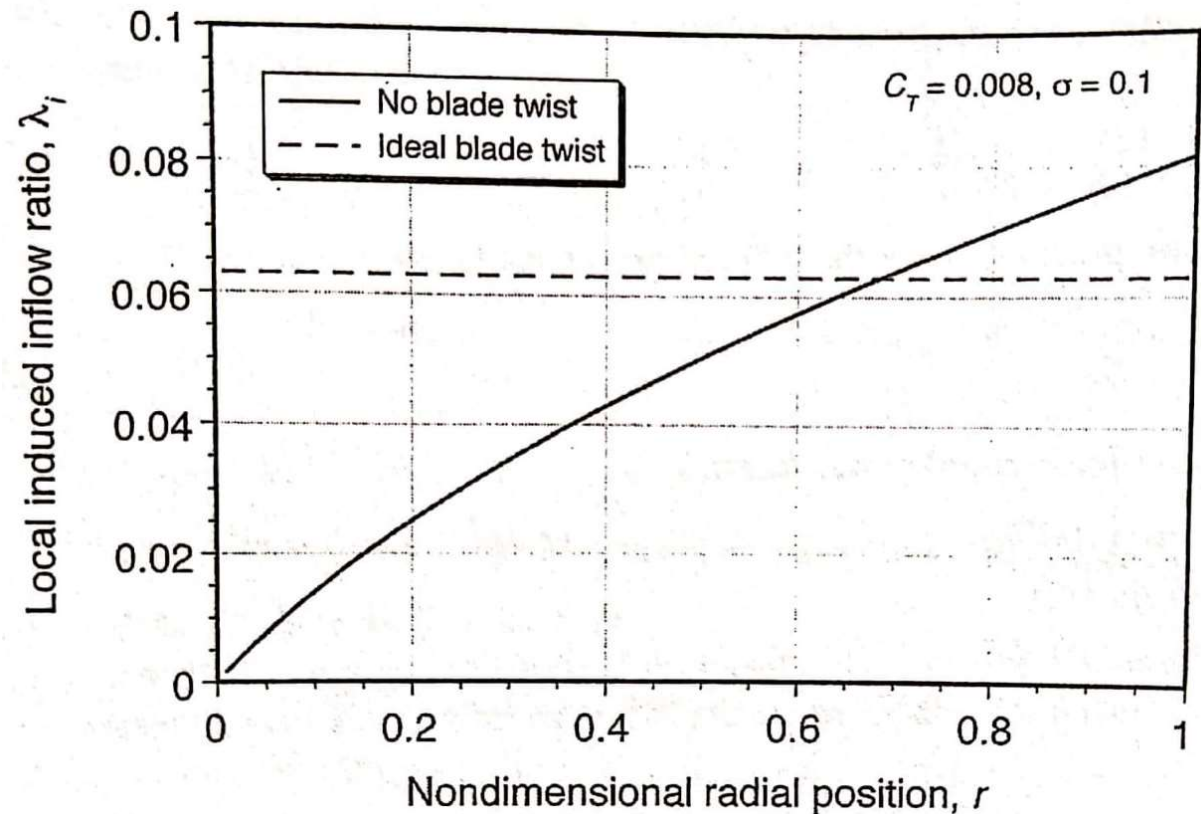
Teoria do elemento de pá com momento:

$$C_T = 8 \int_0^1 \lambda^2 r dr$$

$$C_P = 8 \int_0^1 \lambda^3 r dr$$

$$\lambda(r, \lambda_c) = \sqrt{\left(\frac{\sigma C_{l\alpha}}{16} - \frac{\lambda_c}{2}\right)^2 + \frac{\sigma C_{l\alpha} \theta' r}{8}} - \left(\frac{\sigma C_{l\alpha}}{16} - \frac{\lambda_c}{2}\right)$$

$$\lambda(r) \equiv \lambda_h(r) = \frac{\sigma C_{l\alpha}}{16} \left(\sqrt{1 + \frac{32\theta' r}{\sigma C_{l\alpha}}} - 1 \right)$$



Hélices

Teoria do elemento de pá com momento:

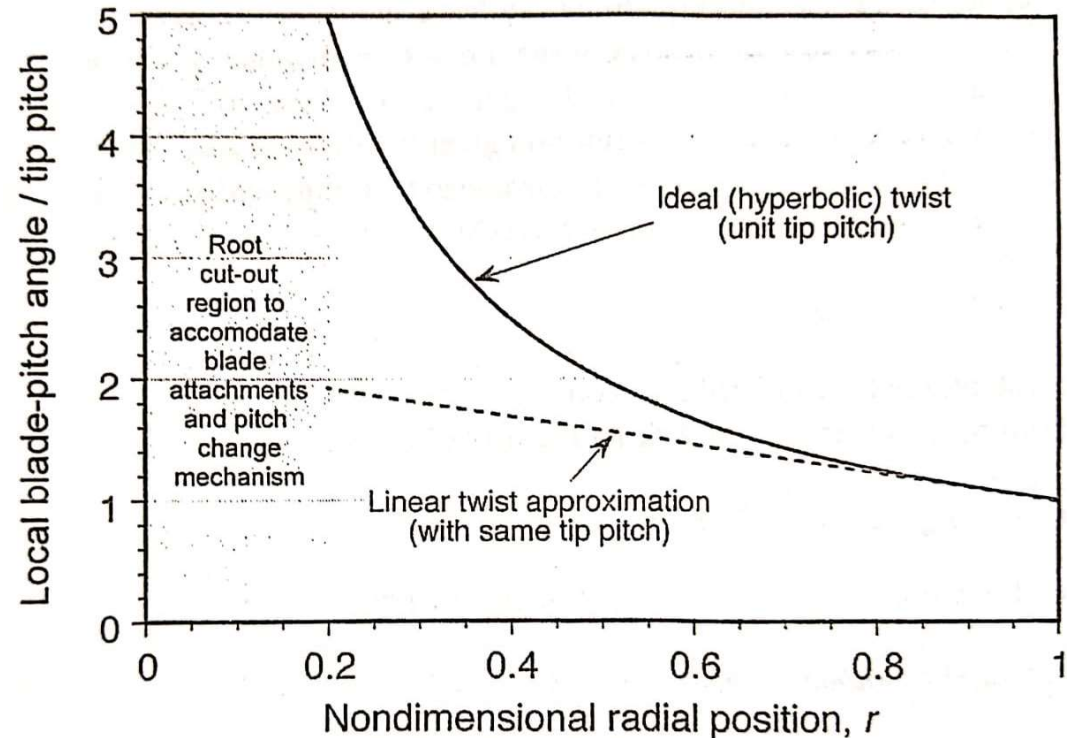
$$C_T = 8 \int_0^1 \lambda^2 r dr$$

$$C_P = 8 \int_0^1 \lambda^3 r dr$$

Considere a torção ideal, tal que $\theta r = \theta_{tip}$

$$\lambda(r, \lambda_c) = \sqrt{\left(\frac{\sigma C_{l\alpha}}{16} - \frac{\lambda_c}{2}\right)^2 + \frac{\sigma C_{l\alpha} \theta' r}{8}} - \left(\frac{\sigma C_{l\alpha}}{16} - \frac{\lambda_c}{2}\right)$$

$$\lambda(r) \equiv \lambda_h(r) = \frac{\sigma C_{l\alpha}}{16} \left(\sqrt{1 + \frac{32\theta' r}{\sigma C_{l\alpha}}} - 1 \right)$$



Hélices

Teoria do elemento de pá com momento:

$$C_T = 8 \int_0^1 \lambda^2 r dr$$

$$C_P = 8 \int_0^1 \lambda^3 r dr$$

Substituindo:

$$\lambda(r) \equiv \lambda_h(r) = \frac{\sigma C_{l\alpha}}{16} \left(\sqrt{1 + \frac{32\theta_{tip}}{\sigma C_{l\alpha}}} - 1 \right)$$

$$\lambda_h(r) = \frac{\sigma C_{l\alpha}}{16} \left(\sqrt{1 + \frac{32\theta_{tip}}{\sigma C_{l\alpha}}} - 1 \right) \Rightarrow \text{constante}$$

$$\lambda_h(r) = \frac{\sqrt{C_T}}{2} = \frac{\sigma C_{l\alpha}}{16} \left(\sqrt{1 + \frac{32\theta_{tip}}{\sigma C_{l\alpha}}} - 1 \right)$$

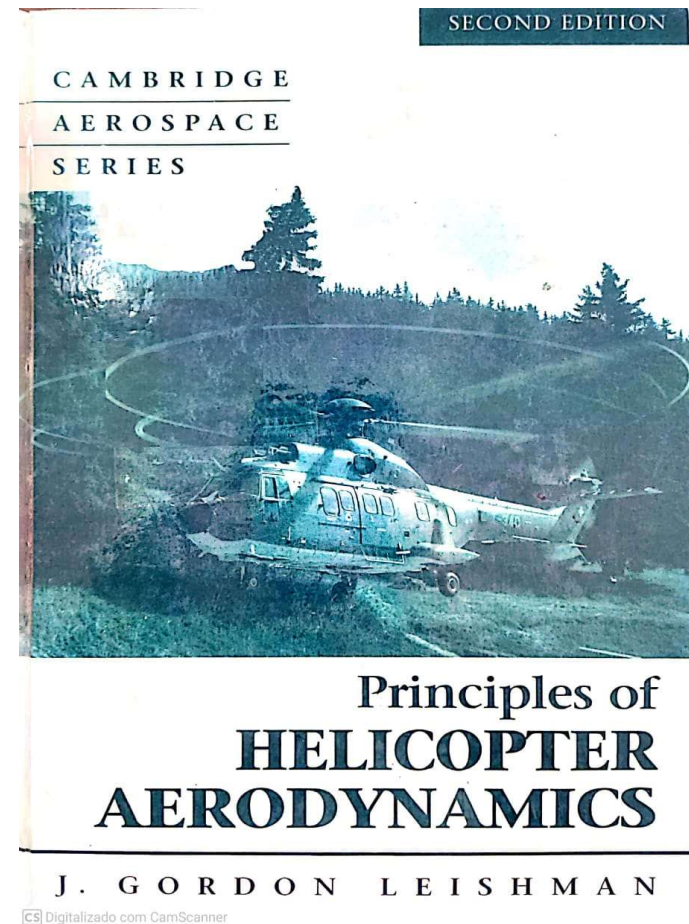
$$\lambda(r, \lambda_c) = \sqrt{\left(\frac{\sigma C_{l\alpha}}{16} - \frac{\lambda_c}{2}\right)^2 + \frac{\sigma C_{l\alpha} \theta' r}{8}} - \left(\frac{\sigma C_{l\alpha}}{16} - \frac{\lambda_c}{2}\right)$$

$$\lambda(r) \equiv \lambda_h(r) = \frac{\sigma C_{l\alpha}}{16} \left(\sqrt{1 + \frac{32\theta' r}{\sigma C_{l\alpha}}} - 1 \right)$$

Hélices

Leitura futura

Para aprofundamento, mudança de movimento e considerações extras de perdas e eficiência



Conteúdo

Introdução

Hélices



- “Take-home messages”
- Próxima aula...

Conclusão

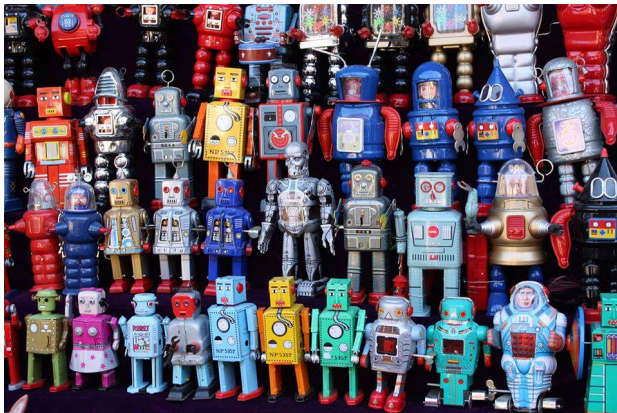
Onde saber o que está acontecendo em Robótica?

Facebook!!!

<https://www.facebook.com/ieee.ras/>



IEEE Robotics & Automation Society



IEEE
SPECTRUM

<https://spectrum.ieee.org/>